

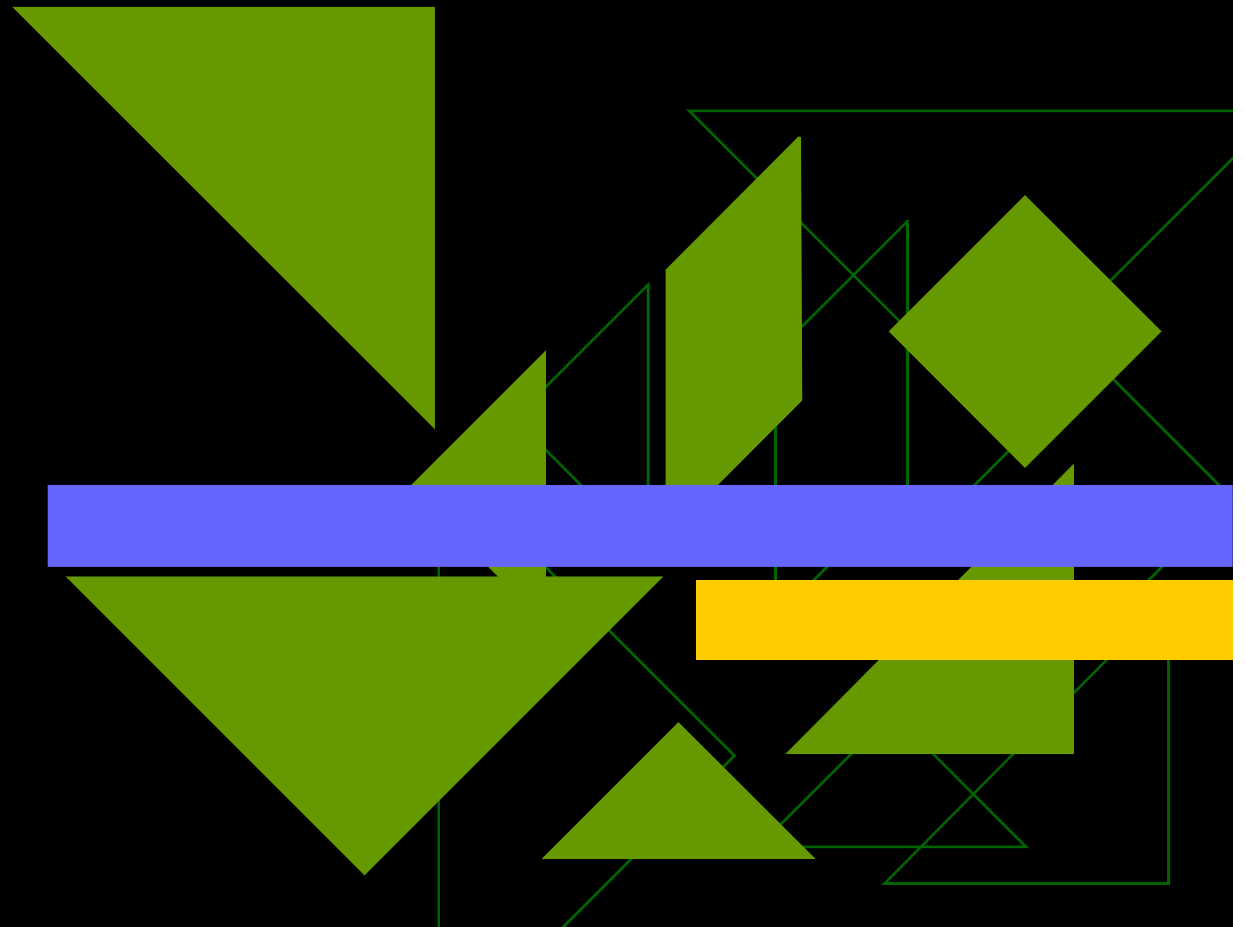
# Fenômenos Naturais



Soraia Raupp Musse

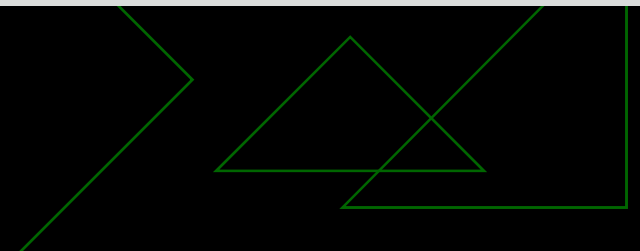
# Padrões da natureza

## Plantas - Paper Dr. P



# Modeling and Visualization of Leaf Venation Patterns

Adam Runions, Martin Fuhrer, Brendan Lane,  
Pavol Federl, Anne-Gaëlle Rolland-Lagan,  
Przemyslaw Pruzinkiewicz



# Sumário

- Motivação
- Folhas
- Modelo
- Modelo Alterado
- Implementação
- Resultados
- Conclusões

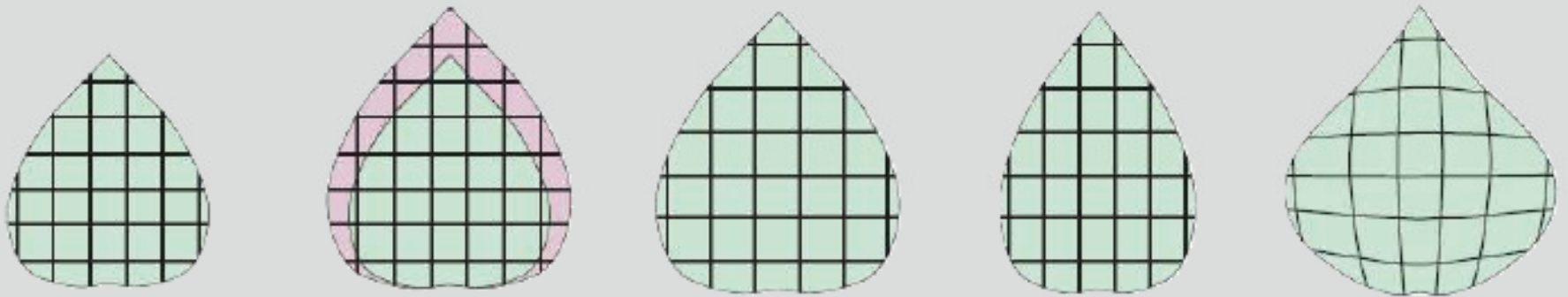


# Motivação

- Modelagem baseada em simulação de padrões encontrados em organismos vivos
- Padrões de nervuras em folhas: admiráveis, porém relativamente pouco compreendidos
- Síntese dos padrões de nervuras em folhas
- Digitalização nem sempre é melhor saída

# Folhas

- Várias formas de crescimento da folha



- Hipótese da Canalização
  - Fontes de auxina (um hormônio), surgem em certos pontos da folha
  - Auxina flui pela folha em direção a nervuras existentes, originando novas nervuras

# Modelo

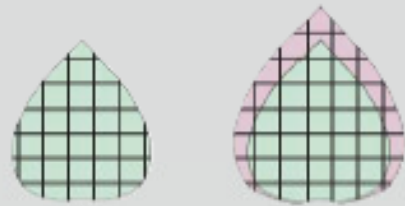
- Assumem que a formação dos padrões das nervuras decorrem da interação entre três processos



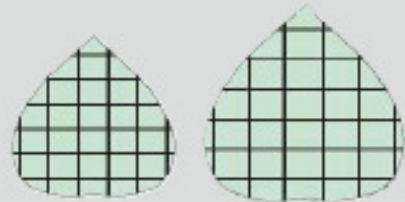
- Padrão é representado por um grafo
  - Nodos de nervura
  - Fontes de auxina

# Modelo

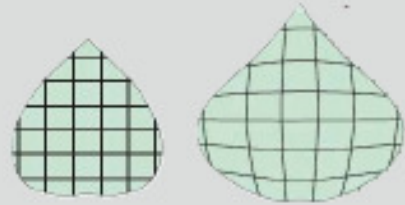
- Crescimento da folha
  - Crescimento marginal



- Crescimento uniforme



- Crescimento anisotrópico não-uniforme



# Modelo

- Criação de fontes de auxina
  - Devem ser criadas a uma distância maior que  $b_s$  de todas as fontes anteriores
  - Devem ser criadas a uma distância maior que  $b_v$  de todas as nervuras existentes
  - A cada iteração são gerados pontos aleatoriamente na superfície da folha; os que atenderem estas condições são usados
  - Parâmetro  $\rho$ : número de pontos por iteração por unidade de área

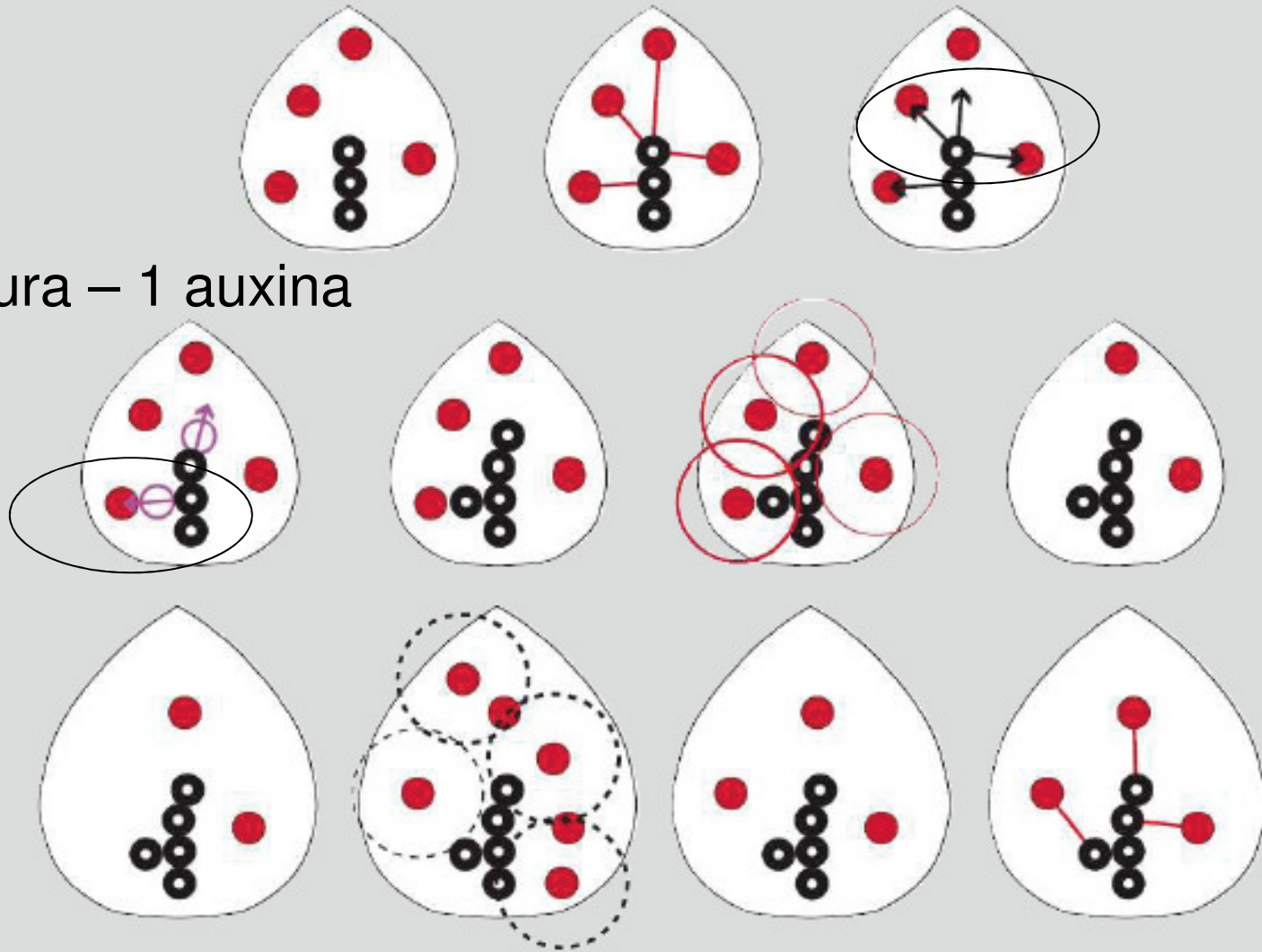
# Modelo

- **Desenvolvimento de nervuras**
  - Cada fonte de auxina influencia o nodo de nervura mais próximo de si
  - Cada nodo de nervura influenciado por ao menos uma fonte de auxina origina um novo nodo de nervura
  - O novo nodo é colocado a uma distância  $D$  do anterior, numa direção definida pela média dos vetores normalizados do nodo original a cada fonte que influencia

# Modelo

1 nervura – 3 auxinas

1 nervura – 1 auxina





# Resultados

- Exploração dos parâmetros:  $k_d$  (*kill distance*)





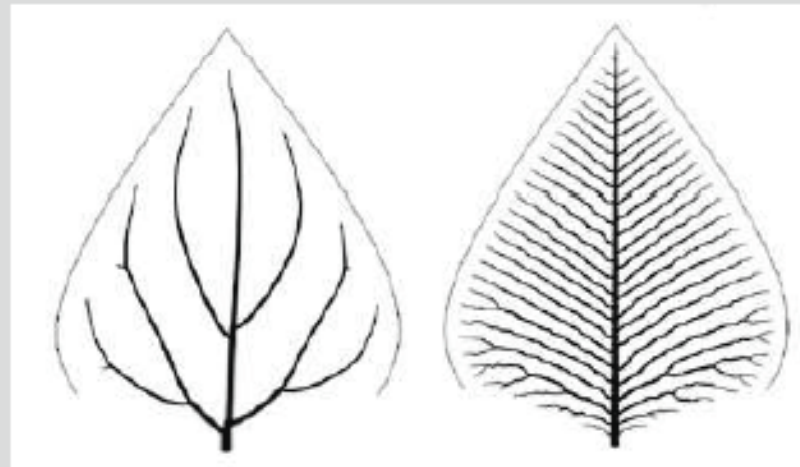
# Resultados

- Exploração dos parâmetros:  $\rho$



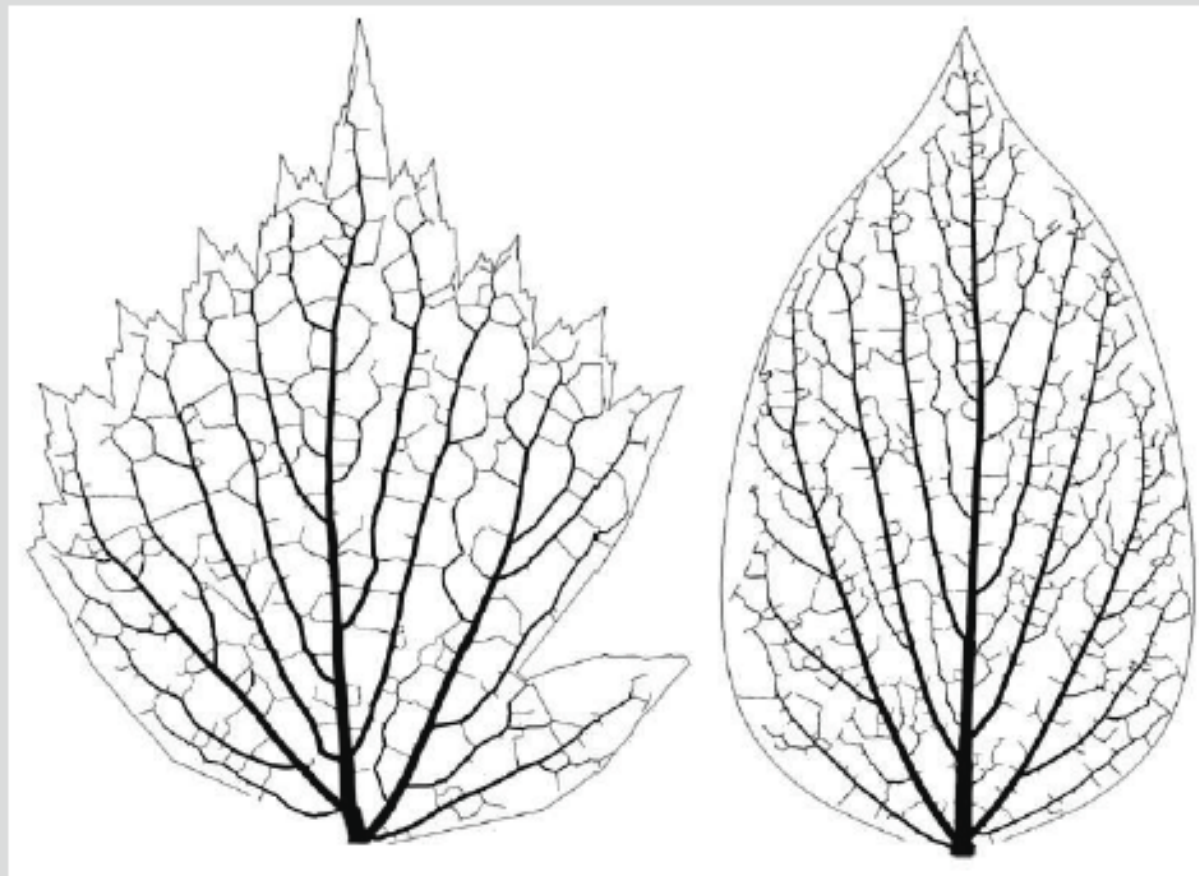
# Resultados

- Exploração dos parâmetros: velocidade de crescimento da folha



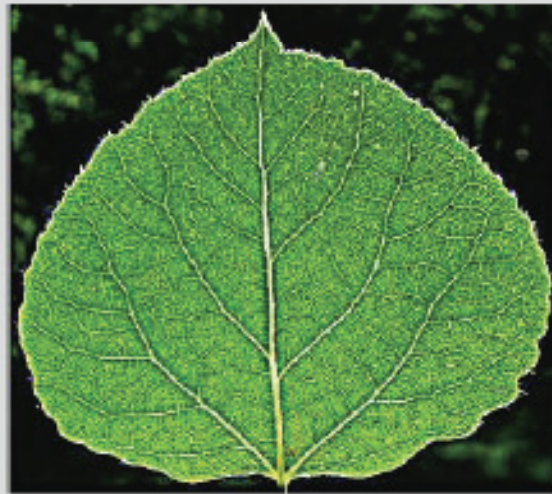
# Resultados

- Alguns padrões...



# Resultados

- Vizinhanças padrão (2h), fotografia, aproximação de Urquhart (2 min)



# Resultados

- Fotografia x sintetizado





# Resultados

- Fotografia x sintetizado



# Resultados

- Renderizado



# Resultados

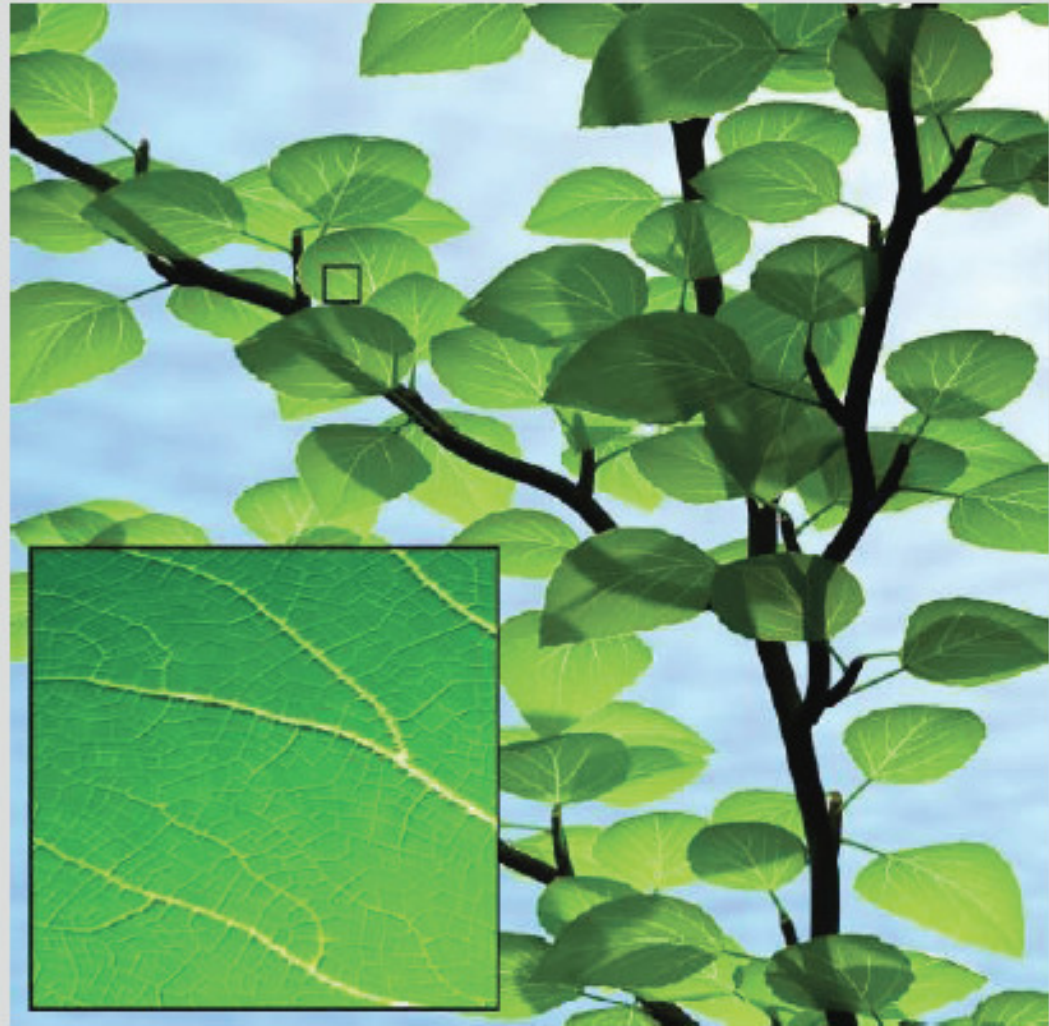
- Renderizado





# Resultados

- Renderizado



# Resultados

- Renderizado



# Conclusões

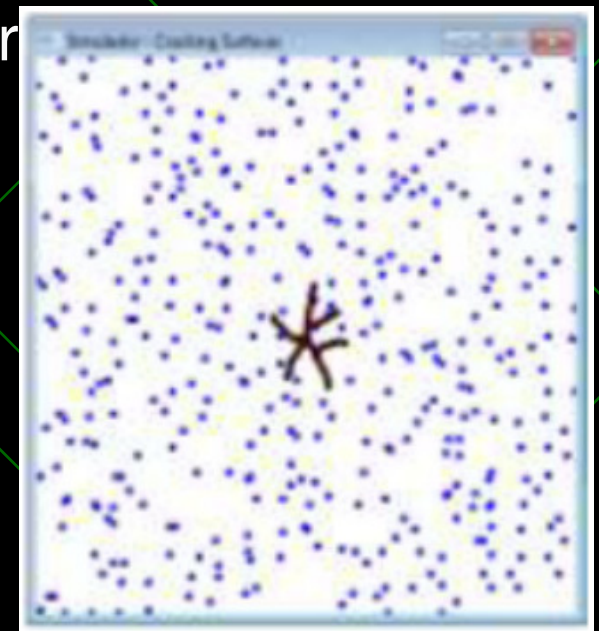
- Modelo para geração de padrões de nervuras de folhas
- Aplicação em síntese de texturas
- Primeiro modelo visualmente convincente baseado em conceitos biologicamente plausíveis

# Generation of Cartoon 2D Cracks Based on Leaf Venation Patterns

Julia M. Colleoni Couto, Tiago  
Marcelino, Henry Braun, Diogo Strube  
de Lima, Soraia Raupp Musse

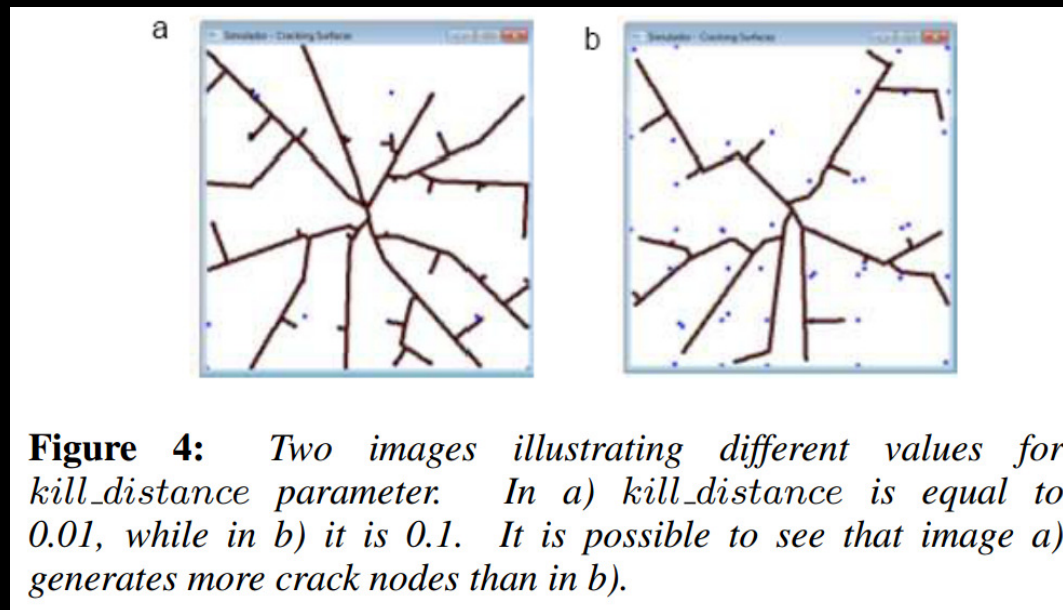
# Introdução

- ◆ Criação de cracks usando Dr.Pi
- ◆ Cracks para games
- ◆ Customizar o local do tiro para iniciar os cracks



# Parâmetros

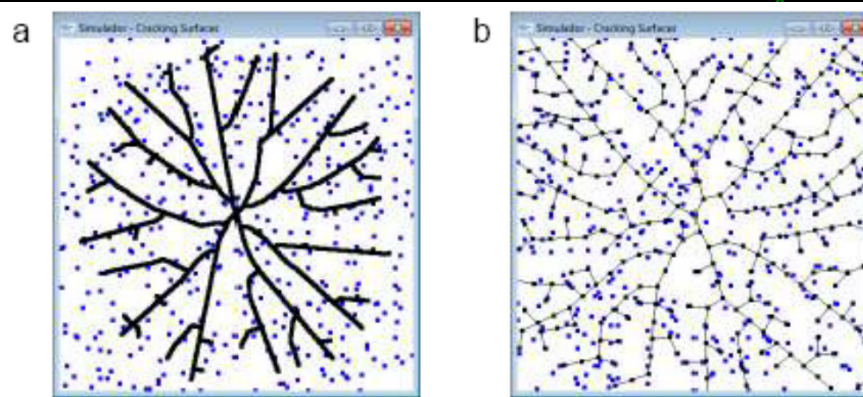
- ◆ kill distance: responsible for defining the threshold distance from crack node to markers that should be removed (default value is equal to 0.01).





# Parâmetros

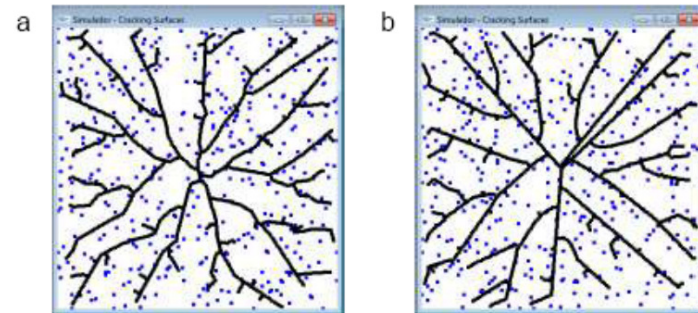
- ◆  $D$ : distance from a crack node to create another node (default value is equal to 0.1). Depending on the used value, crack segment generated between two crack nodes are smaller, for small  $D$ , or larger for large  $D$



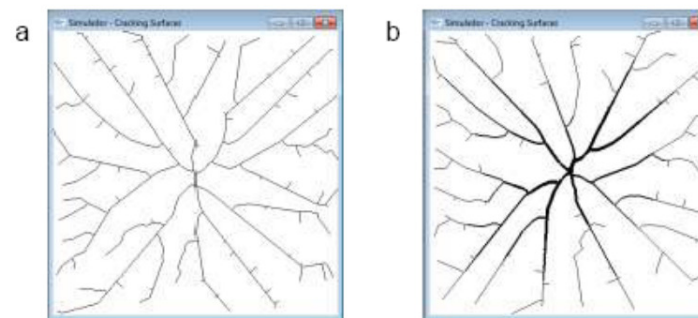
**Figure 5:** Two images illustrating different values for  $D$  distance parameter. In a)  $D$  is equal to 0.1, while in b) it is 0.04. It is possible to see that image a) generates less crack nodes than in b).

# Parâmetros

- ◆ Num\_interaction
- ◆ Line\_grid/col\_grid
- ◆ Crack\_radius
- ◆ Line\_growth



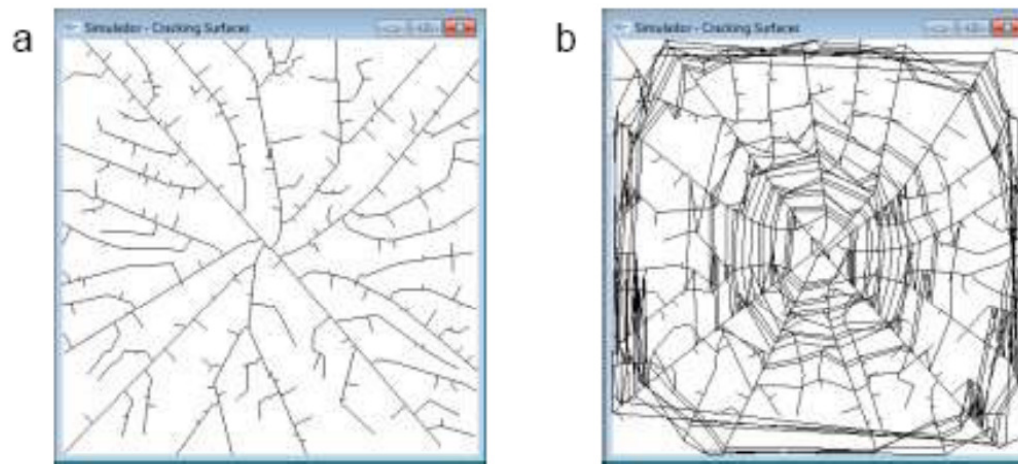
**Figure 6:** Two images illustrating different values for *crack\_radius* parameter. In a) *crack\_radius* is equal to 0.5, while in b) it is 20.0. It is possible to see that image b) generates straighter crack segments than in a).



**Figure 7:** Two images illustrating different values for *line\_growth* parameter. In a) *line\_growth* is equal to 0.5, while in b) it is 0.0. It is possible to see that image b) generates varied lines width as a function of cracks hierarchy in generation process.

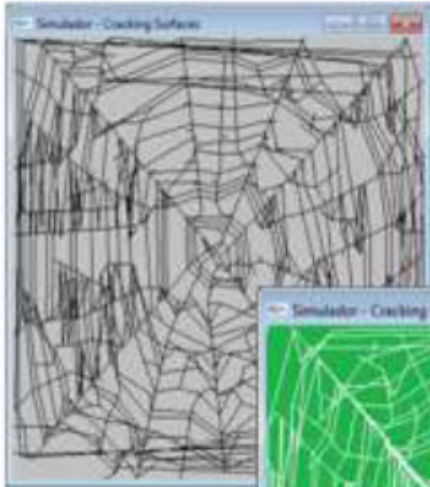


# Parâmetros



**Figure 8:** *Two images illustrating the effect of `draw_connections` parameter. In a) `draw_connections` is `FALSE`, while in b) it is `TRUE`. Other parameters used in these simulations are: `kill_distance` = 0.02, `D` = 0.2, `num_iterations` = 80 and `num_lines_grid` = `num_column_grid` = 20.*

# Parâmetros



(a)



(b)

# Modeling and Rendering of Individual Feathers

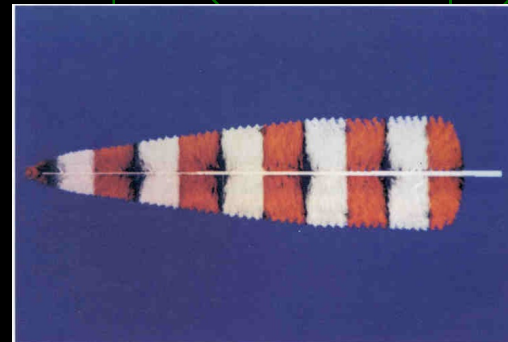
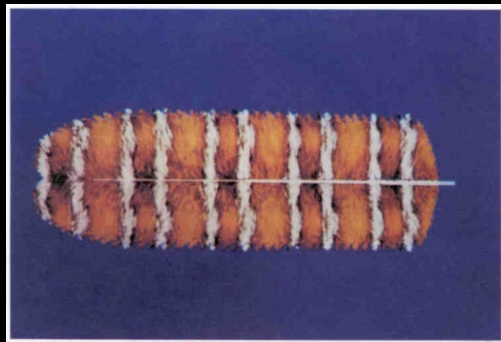
Cristiano Franco  
Marcelo Walter

# Introduction

- ◆ Modeling of Natural phenomena
- ◆ Development of this research area follows the complexity of nature
  - Mineral kingdom
  - Vegetable kingdom
  - Animal kingdom
- ◆ Challenges: humans and animals
- ◆ Modeling of birds and feathers

# Previous Work

- ◆ Few works in this area
- ◆ The first one: Dai *et al.* in 1995
  - They model the structure of the feathers as line segments branching from a main structure
  - Overall structure is controlled by functions acting on the parameters
  - Main objective was generate textures based on dynamical systems

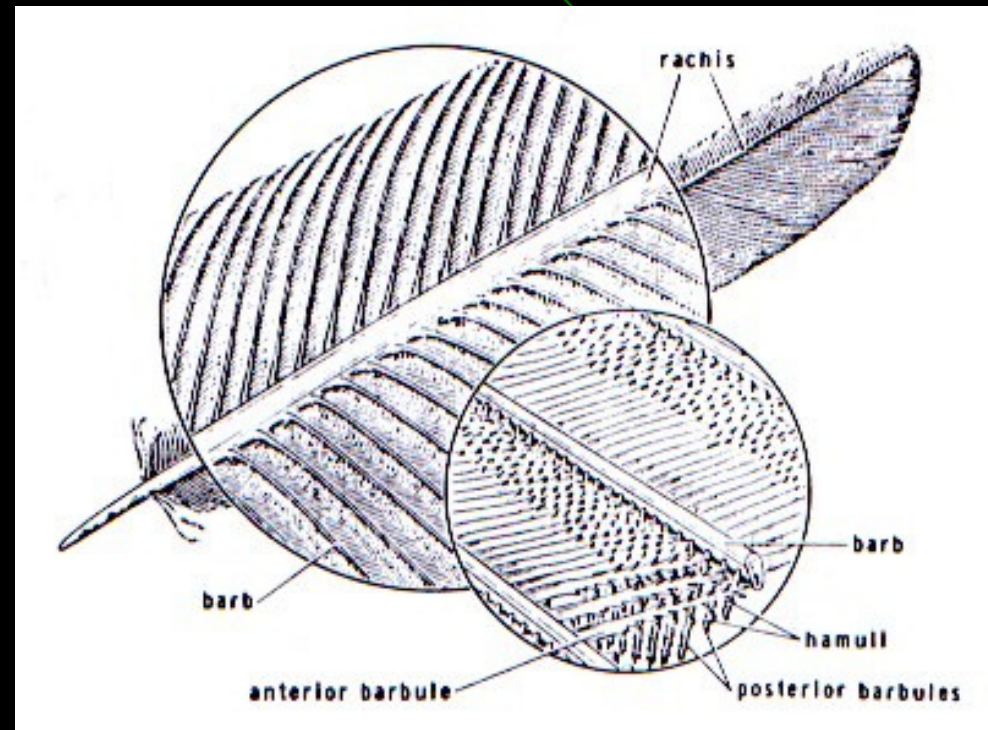


# Previous Work

- ◆ Recently, two works were developed
- ◆ Chen *et al.*
  - Feathers are modeled with L-Systems
  - Approach to cover a bird with the feathers generated by the user
- ◆ Streit and Heidrich
  - Feathers are modeled with Bézier curves, as in our case
  - User specify key barbs from which the other barbs are derived by interpolation
  - Definition of key barbs can be a time consuming and boring task to the user

# Feather Basics

- ◆ Model based on real feathers
- ◆ Feathers are a type of branching structure
- ◆ Main parts
  - Rachis
  - Barbs
  - Barbules
  - Vanes





# The Proposed Model

- ◆ The model has a biological motivation
- ◆ Besides biological-based parameters, we have others created in order to facilitate the process of building feathers

## Process of modeling:

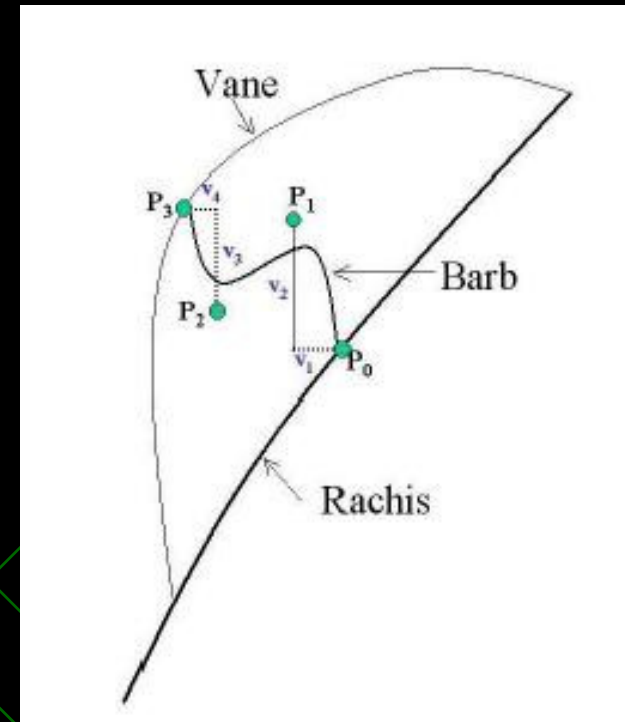
1. The user defines a cubic Bézier, which represents the rachis
2. Then, the user defines 2 Bézier curves with 5 control points, that defines the boundaries of the structure
3. After that, the user manipulates the parameters in order to build in realtime a feather like he wishes

Parameter	Range Values	Description
$N_b$	[0,5000]	Number of Barbs
$F_{pv}$	[0,1]	Variation on length of barbs
$F_b$	[0,1]	Variation on form of barbs
$S_v$	T v F	Symmetry of Vanes
$U_f$	T v F	Uniformity of barbs (form)
$U_c$	T v F	Uniformity of barbs (length)
$I_s$	[0,1]	Start of second segment



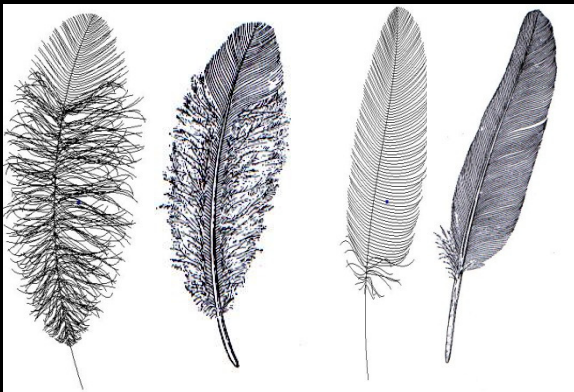
# The Proposed Model

- ◆ For each barb, four control points
- ◆ Initial condition,  $P_0$  and  $P_1$  in the rachis and  $P_2$  and  $P_3$  in the limit of the vane
- ◆ The procedure will move points  $P_1$  and  $P_2$  away from their initial position, according to parameters



# Rendering

- ◆ The rendering phase can be done in three ways:
  - We can render the feather in a non-realistic way (a)
  - We can render the feather with texture, taken from a real feather or generated artificially, using OpenGL
  - We can build a .pov file and render it using the ray-tracer POV-Ray (b) (not in the paper)



(a) Non-realistic rendering



(b) POV-Ray



# Results - Hawk Feather

<i>Segment</i>	<i>Nb</i>	<i>Fpv</i>	<i>Fb</i>	<i>Sv</i>	<i>Uf</i>	<i>Uc</i>	<i>Is</i>
<b>Superior</b>	250	0.03	0.3	T	T	F	0.2
<b>Inferior</b>	50	0.2	0.3	F	F	F	



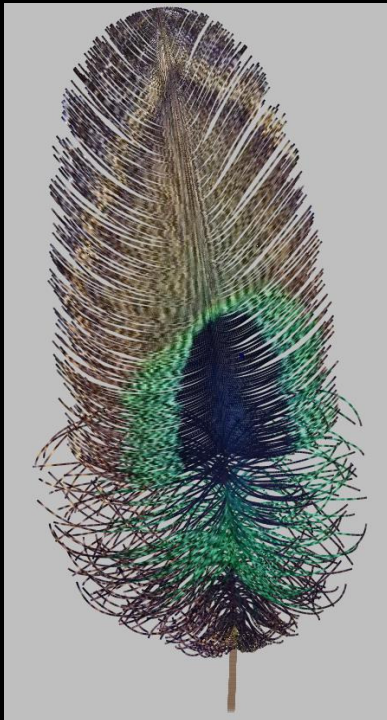
# Results - Blue Feather

<i>Segment</i>	<i>Nb</i>	<i>Fpv</i>	<i>Fb</i>	<i>Sv</i>	<i>Uf</i>	<i>Uc</i>	<i>Is</i>
Superior	250	0.1	0.4	T	T	F	0.2
Inferior	50	0.01	0.2	F	T	F	



# Results – Artistic Peacock

<i>Segment</i>	<i>Nb</i>	<i>Fpv</i>	<i>Fb</i>	<i>Sv</i>	<i>Uf</i>	<i>Uc</i>	<i>Is</i>
<b>Superior</b>	400	0.2	0.4	T	T	F	0.4
<b>Inferior</b>	200	0.4	0.6	F	F	F	



# Conclusions

- ◆ Our system allows a great deal of user control
- ◆ The set of parameters allows to create several types of feathers
- ◆ Future works include an investigation of an illumination model targeted to feathers



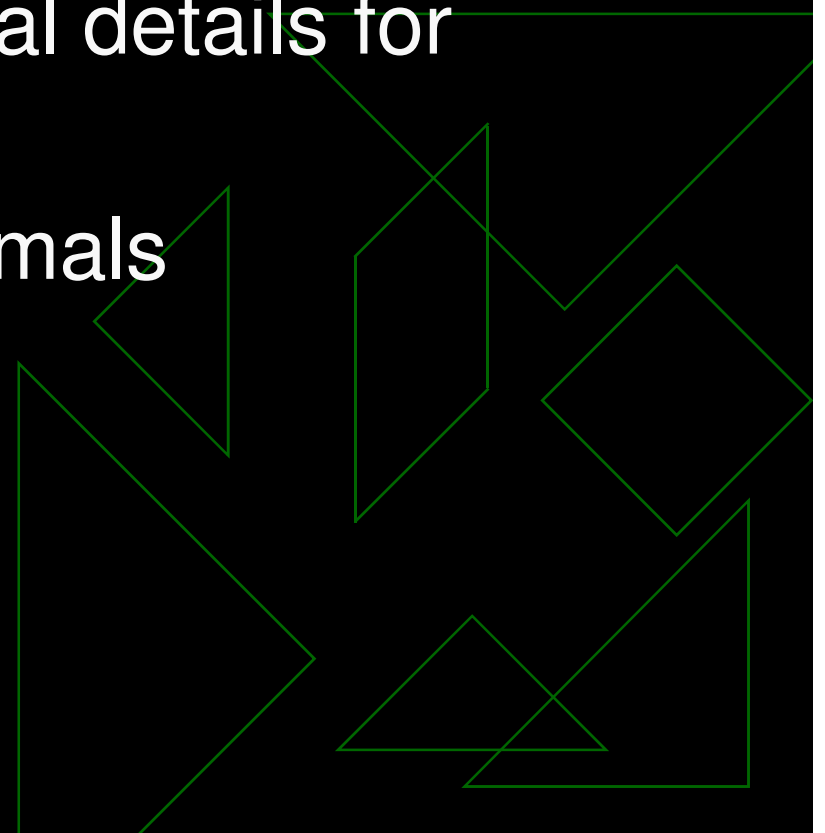
# Integration of Complex Shapes and Natural Patterns

The background features an abstract geometric pattern of various green shapes, including triangles, diamonds, and polygons, some of which are outlined in a lighter green. The shapes are scattered across the black background, creating a complex, layered visual effect.

Marcelo Walter  
Dept. of Computer Science  
The University of British Columbia

# Overall Goal

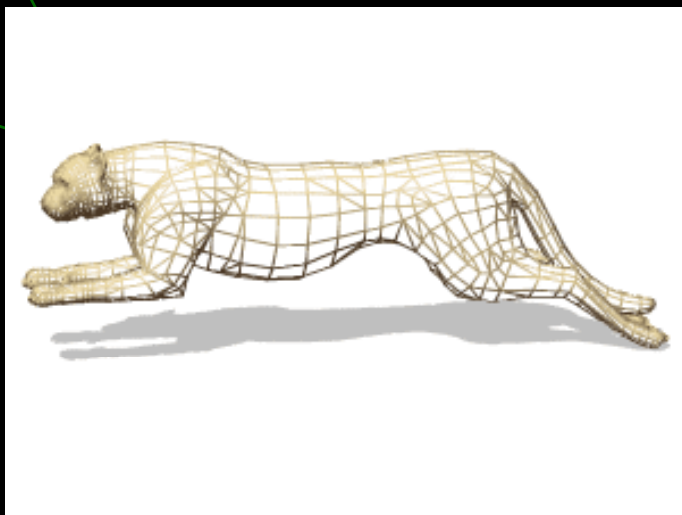
- ◆ Development of an **integrated** scheme for generating rich visual details for natural objects
- ◆ Domain: Patterned Animals



# The Problem

- ◆ Integration of the **visual** and **shape** elements of an object
  - Usual method is to model shape, then add pattern
  - Usually done with texture mapping

# Example of Texture Mapping



+



=



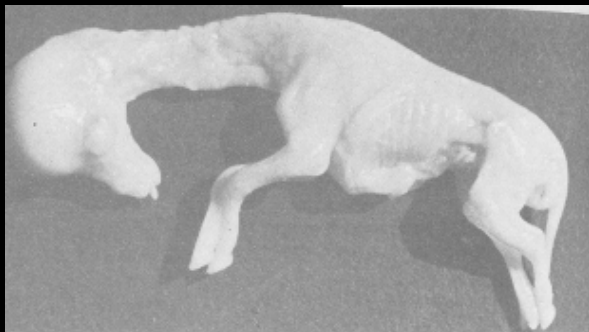
# Strategy

- 1 - Develop a method to generate patterns found in mammalian coats, especially giraffes and big cats
  - 2 - Controlled transformation of a shape
  - 3 - Integration of the two
- ◆ **“Inspired” by Nature itself**

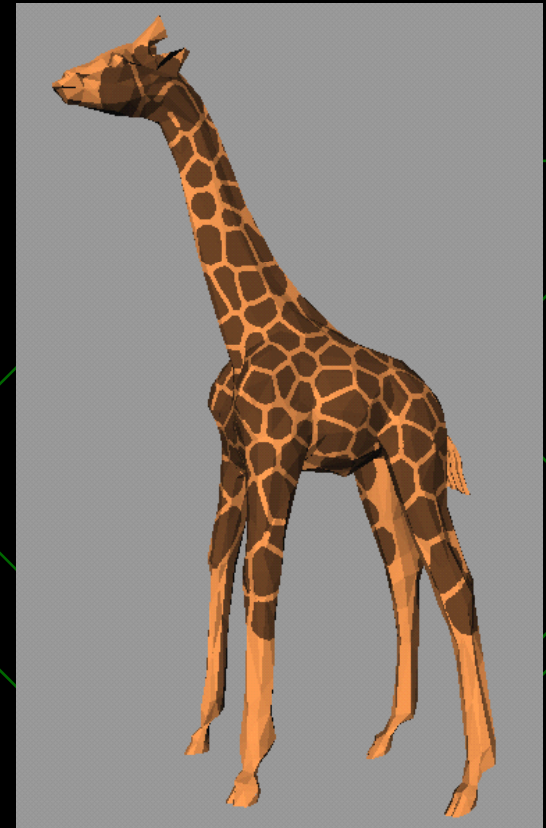
# Pattern Formation “in place”



+



Growth





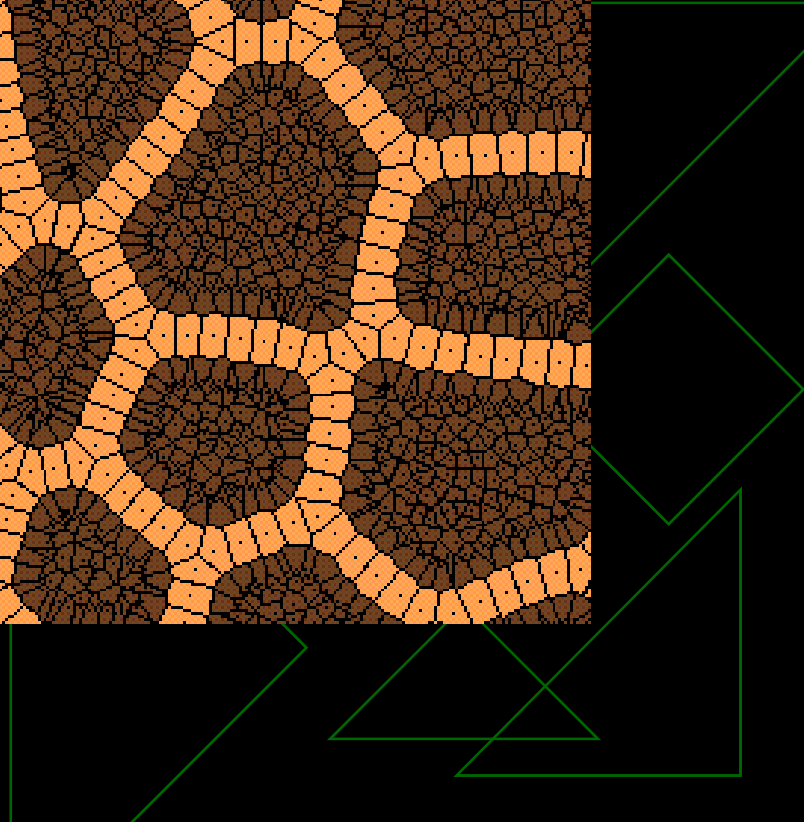
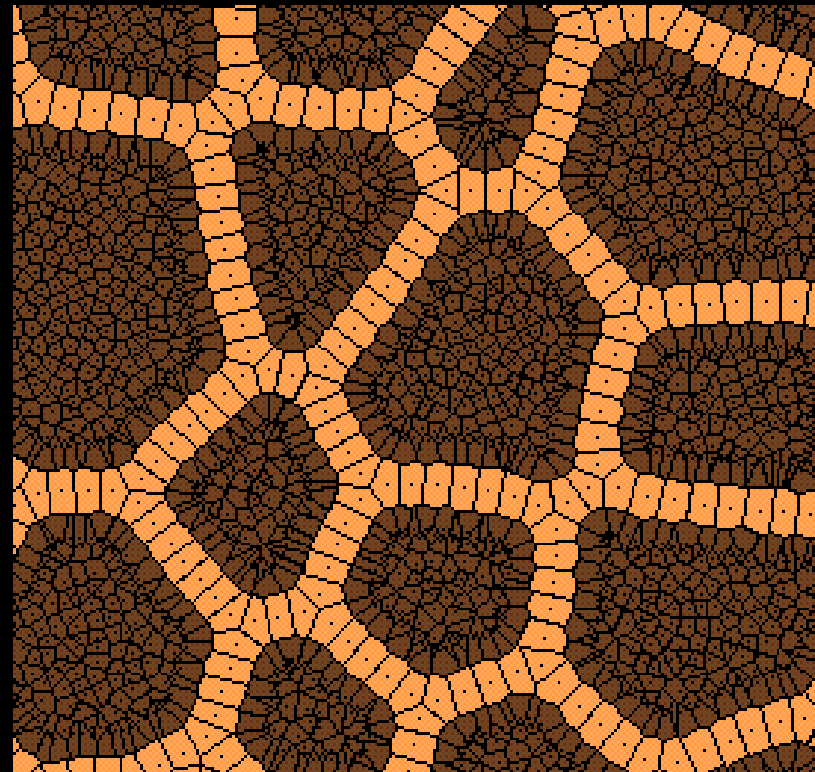
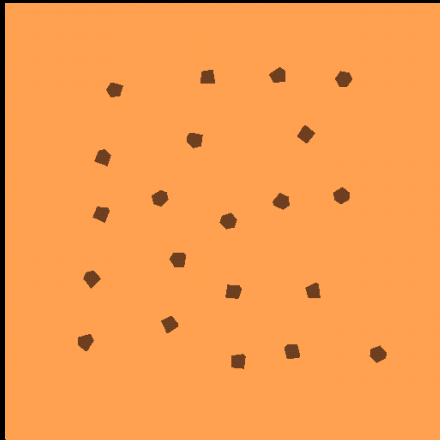
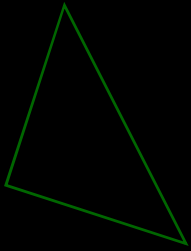
# Overview of the Model

- ◆ Cells are modelled as points
- ◆ Types of cells characterized by:
  - Division rates, adhesion, colour, initial probability, mutation probability
  - Type: randomly or manually determined
- ◆ Cell size: relaxation procedure to keep min distance between points

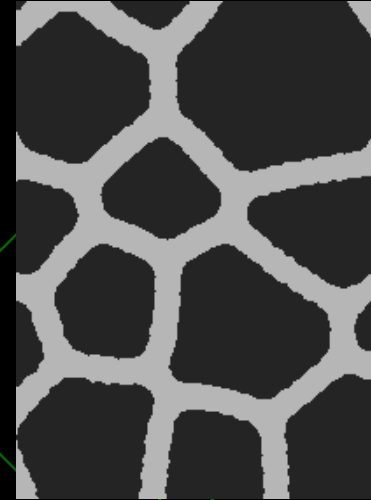
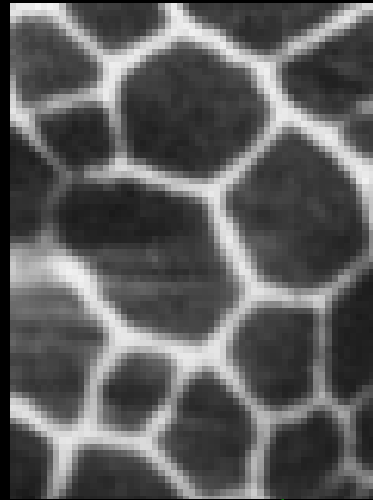
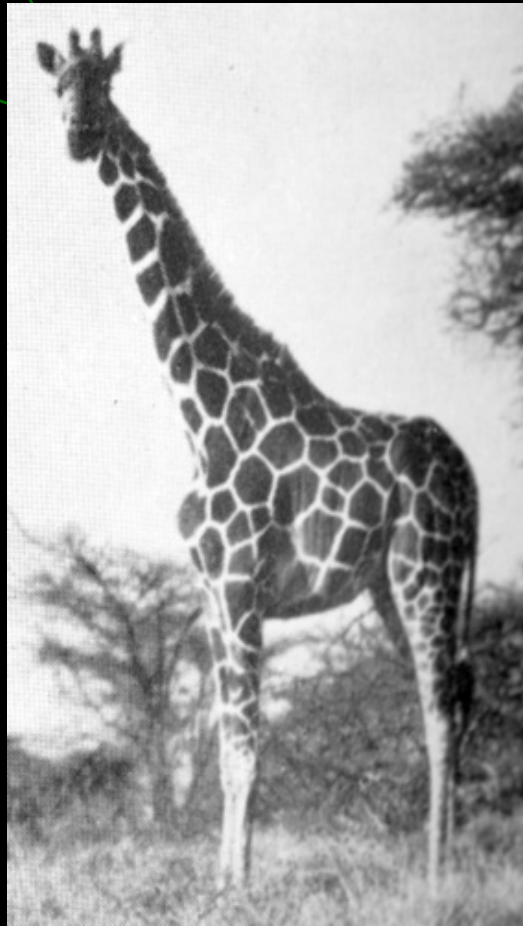
# Parameters and their roles

- ◆ **Division rate**: absolute and relative numbers of cells of each type
- ◆ **Colour**: colour
- ◆ **Adhesion**: tendency of cells to stay together
- ◆ **Anisotropy**: tendency of cells to move in a preferred direction
- ◆ **Probabilities**: distribution of types of cells

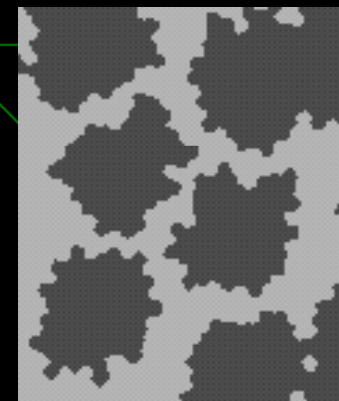
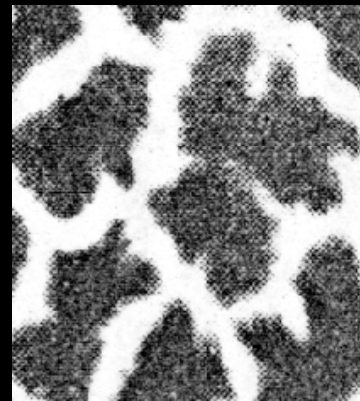
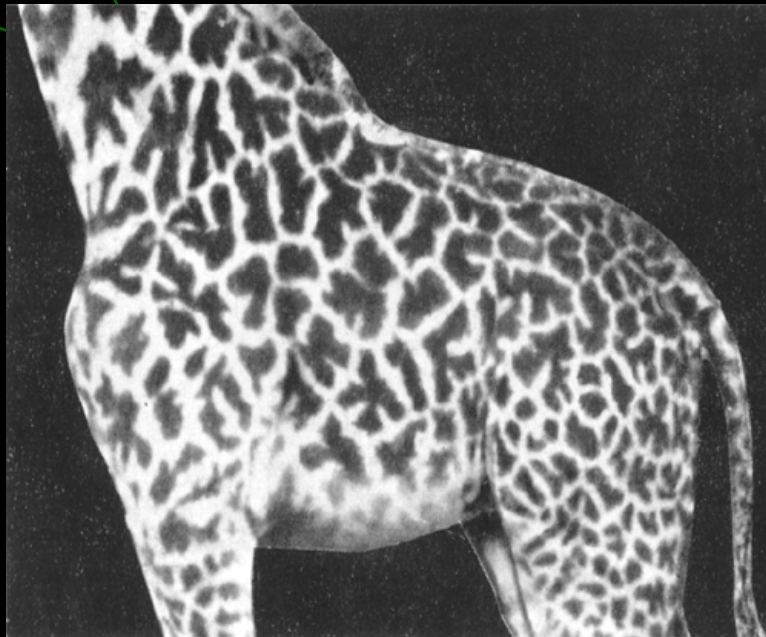
# Illustration



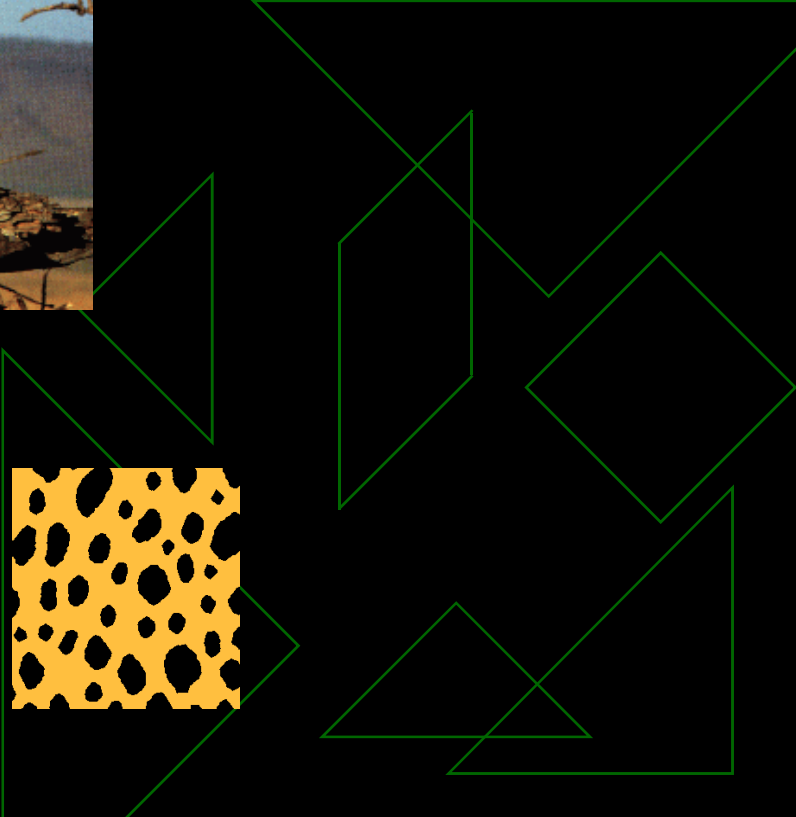
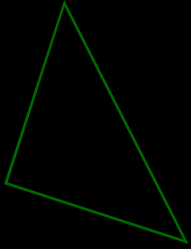
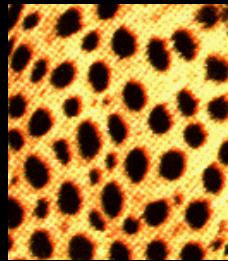
# Giraffe Patterns (Reticulata)



# Giraffe Patterns (Tippelskirschi)

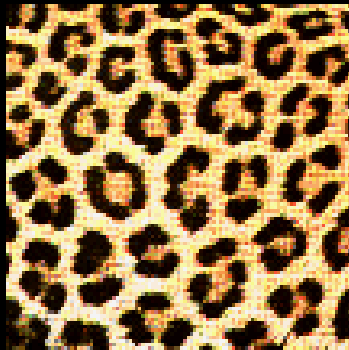


# Spotted Patterns

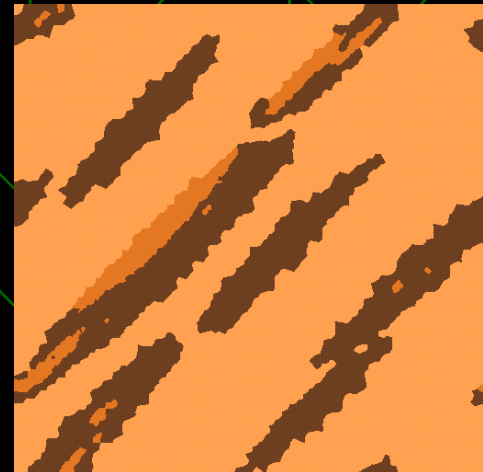
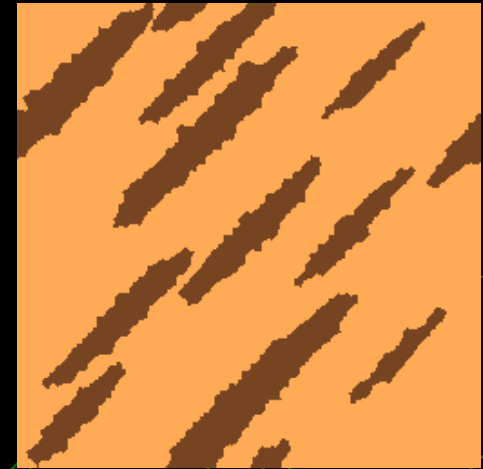




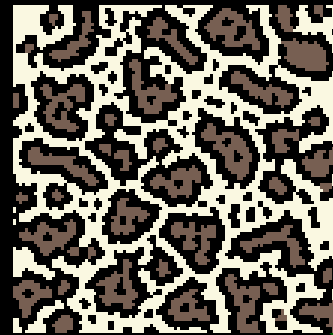
# Rosette



# Anisotropic Patterns

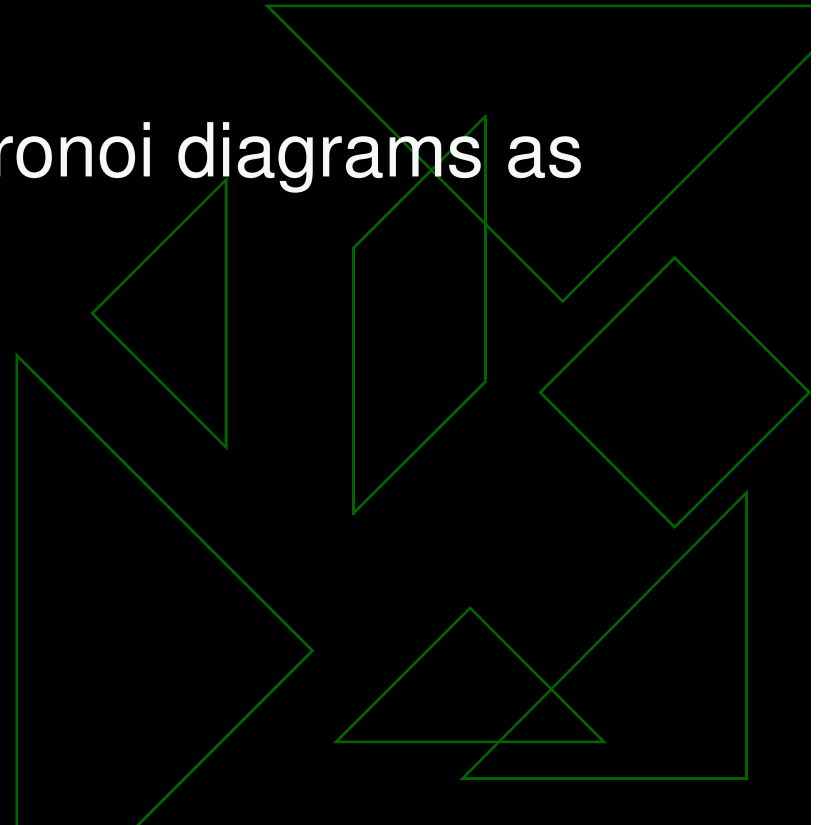


# Other Big Cats (Ocelot)

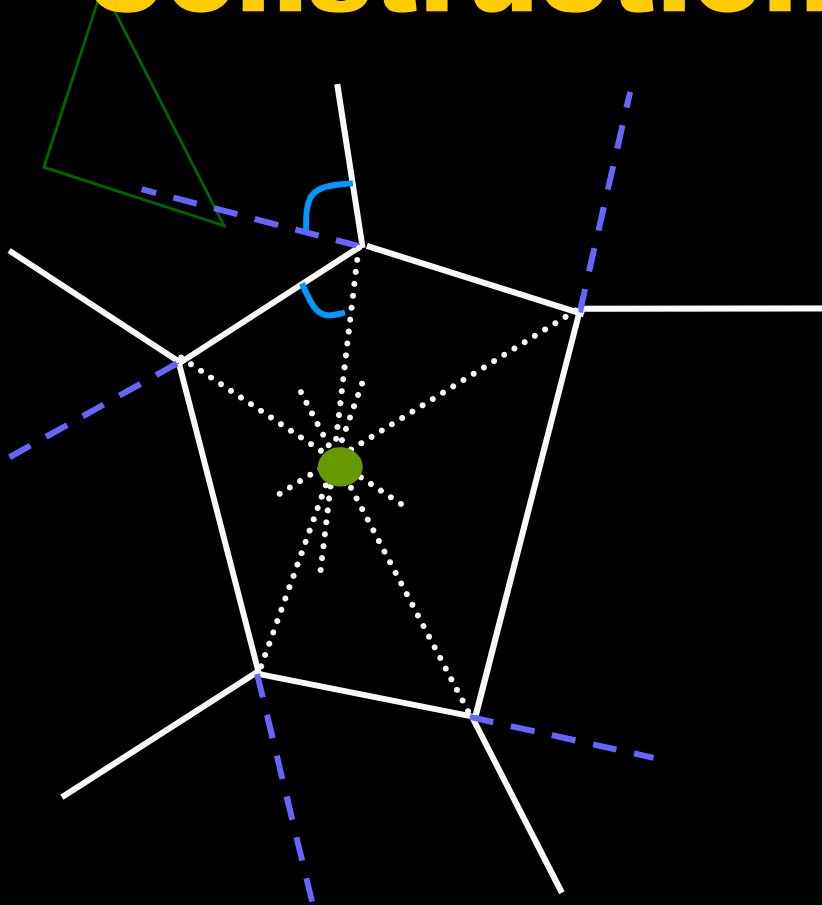


# Assessing the results

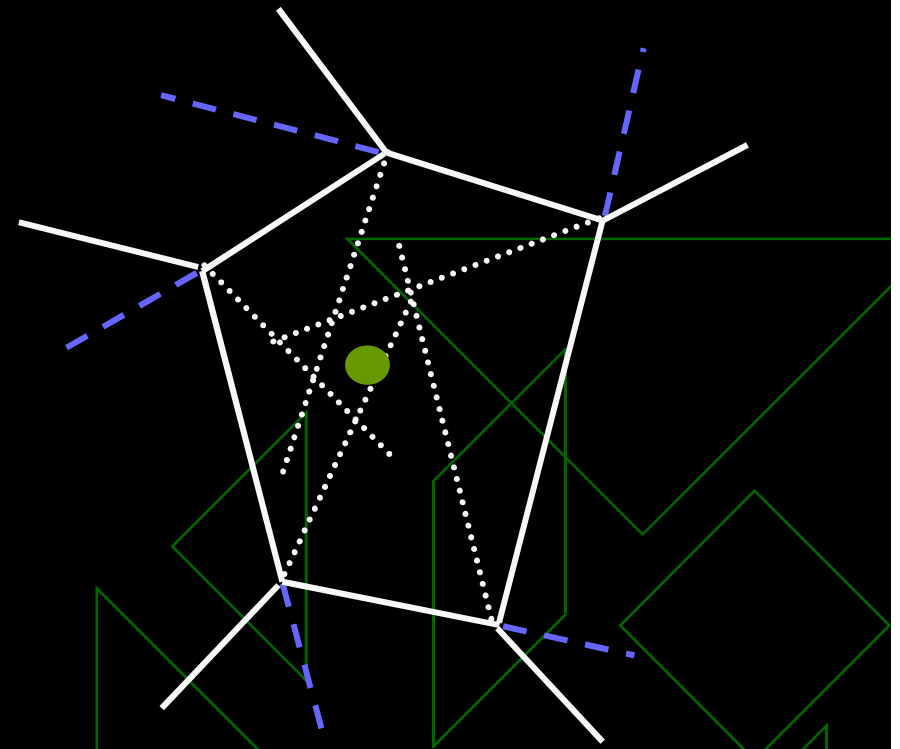
- ◆ Qualitative (looks good)
- ◆ Quantitative
  - Many patterns have Voronoi diagrams as basis



# Metric: Geometric Construction



True Voronoi cell

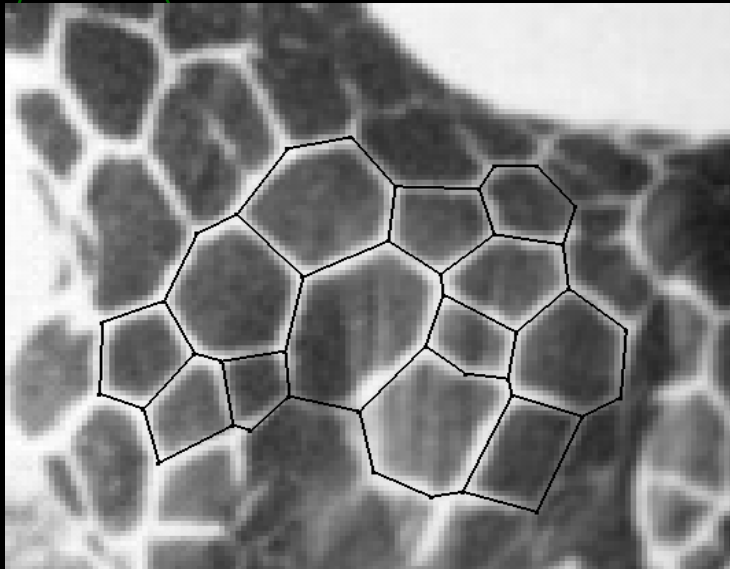


Approximate Voronoi cell

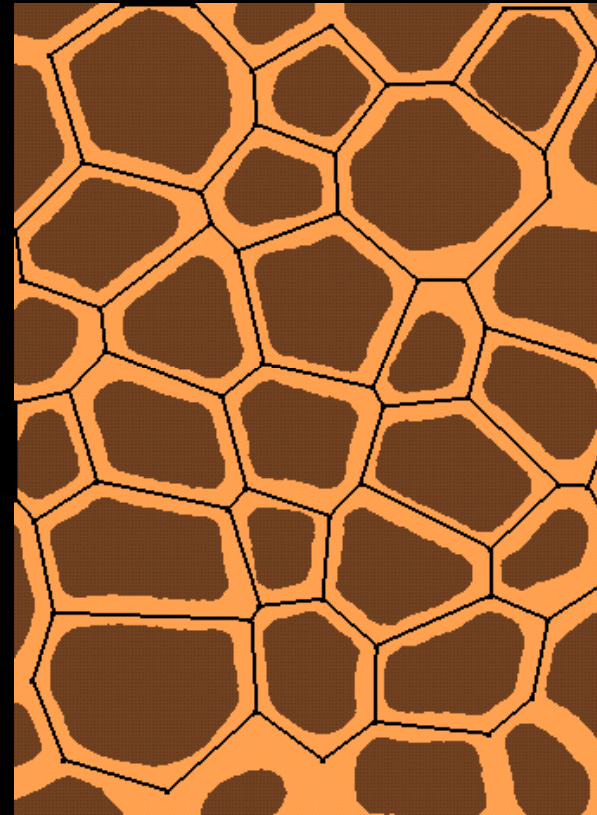
Measure is sum of squared distances



# Assessing the patterns



Real Giraffe  $M = 1.43\%$



Computed  $M = 0.896\%$

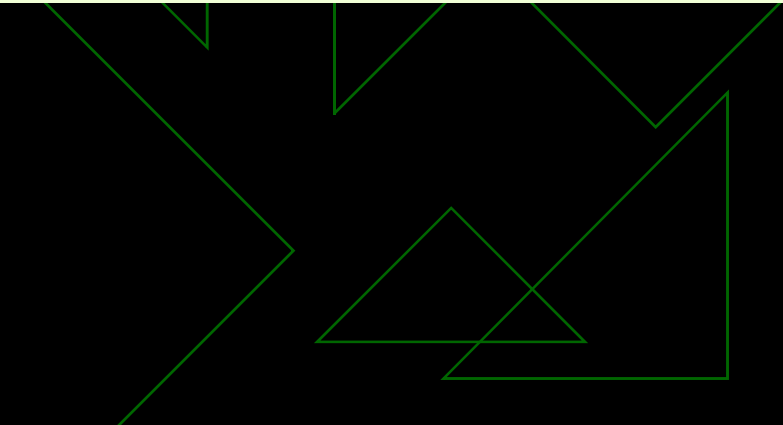




# Simulação em Tempo-Real de Nuvens utilizando Billboards

Rafael Piccin Torchelsen

Soraia Raupp Musse



# Sumário

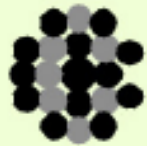
- Introdução
- Estado da Arte
- Modelo Proposto
- Resultados
- Demonstração
- Conclusão

# Motivação

Realismo visual de nuvens e variações ambientais de céus para aplicações em tempo-real, em especial jogos 3D

# Problema

- Complexidade Computacional
- Volume
- Variação nos modelos tridimensionais
- Variação ambiental
- Iluminação



# Objetivos

Sistema de simulação em tempo-real de nuvens volumétricas, utilizando um sistema semi-automático de geração de modelos tridimensionais de nuvens

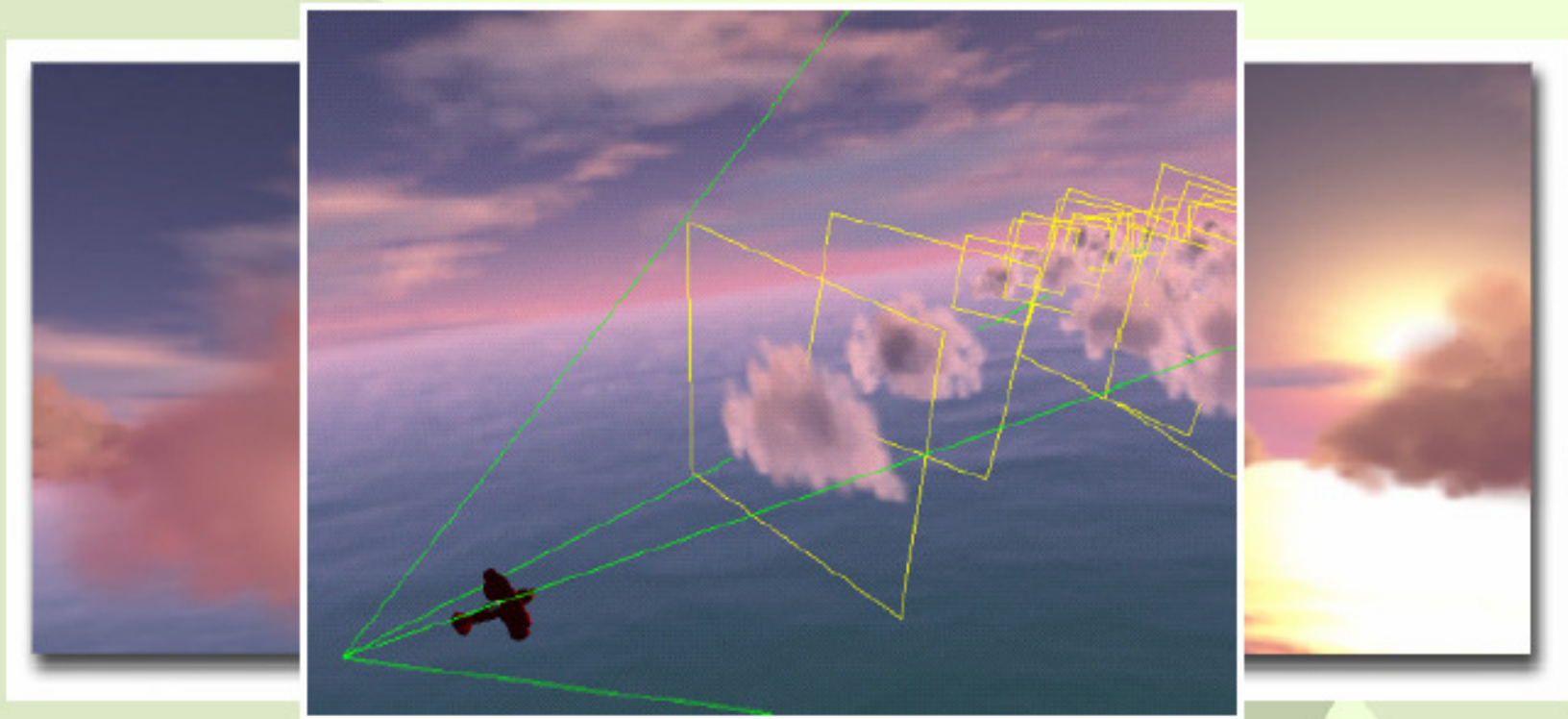
# Skybox





# Estado da Arte

- Mark J. Harris, Anselmo Lastra Real-Time Cloud Rendering, 2001, EUROGRAPHICS, Volume 20, Number 3.





# Estado da Arte (cont.)

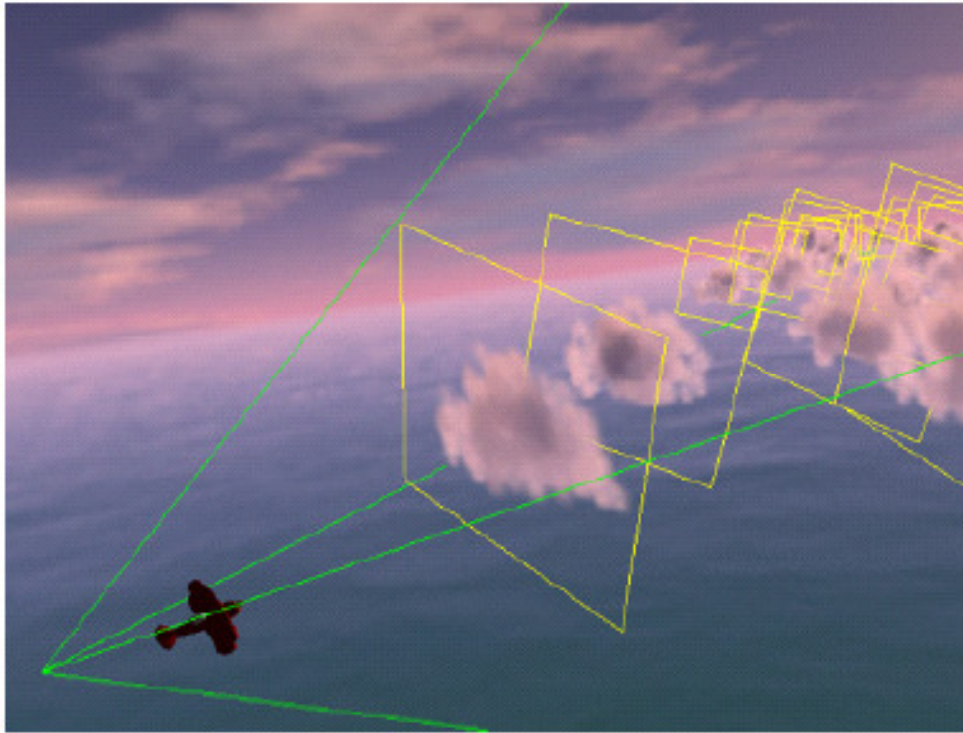


# Visão Geral

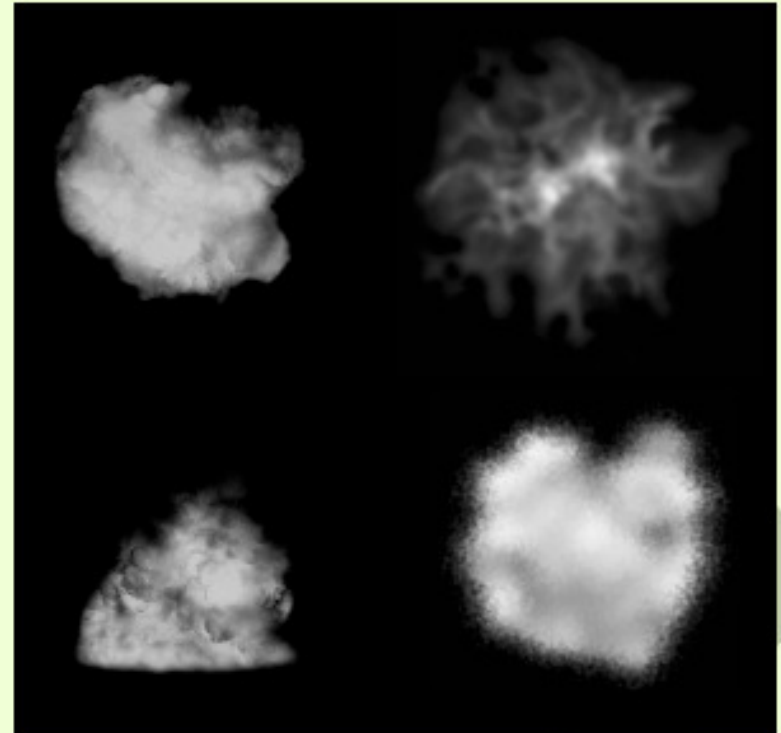


Semente – Modelo Base – Disposição dos Billboards - Nuvem

# Billboards



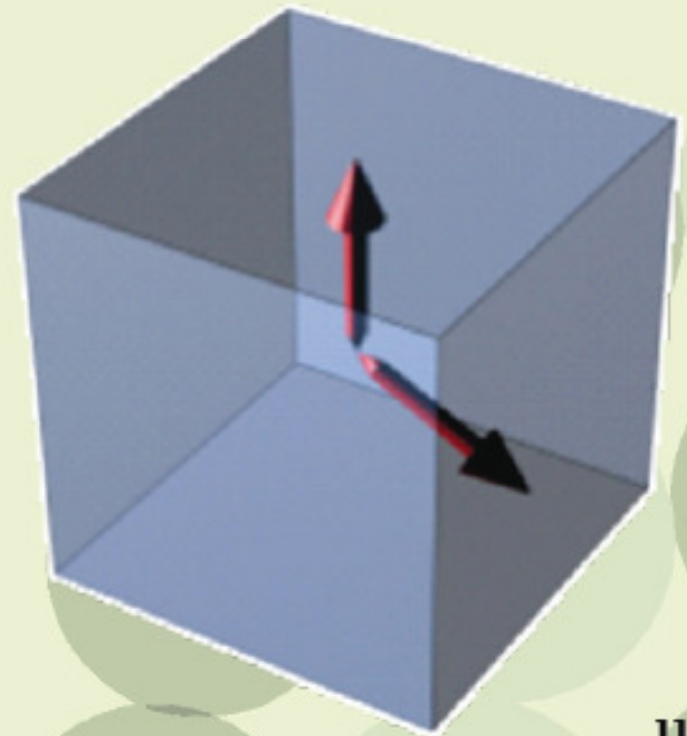
Utilização de impostores por Mark J. Harris



Exemplo de texturas utilizadas

# Sementes

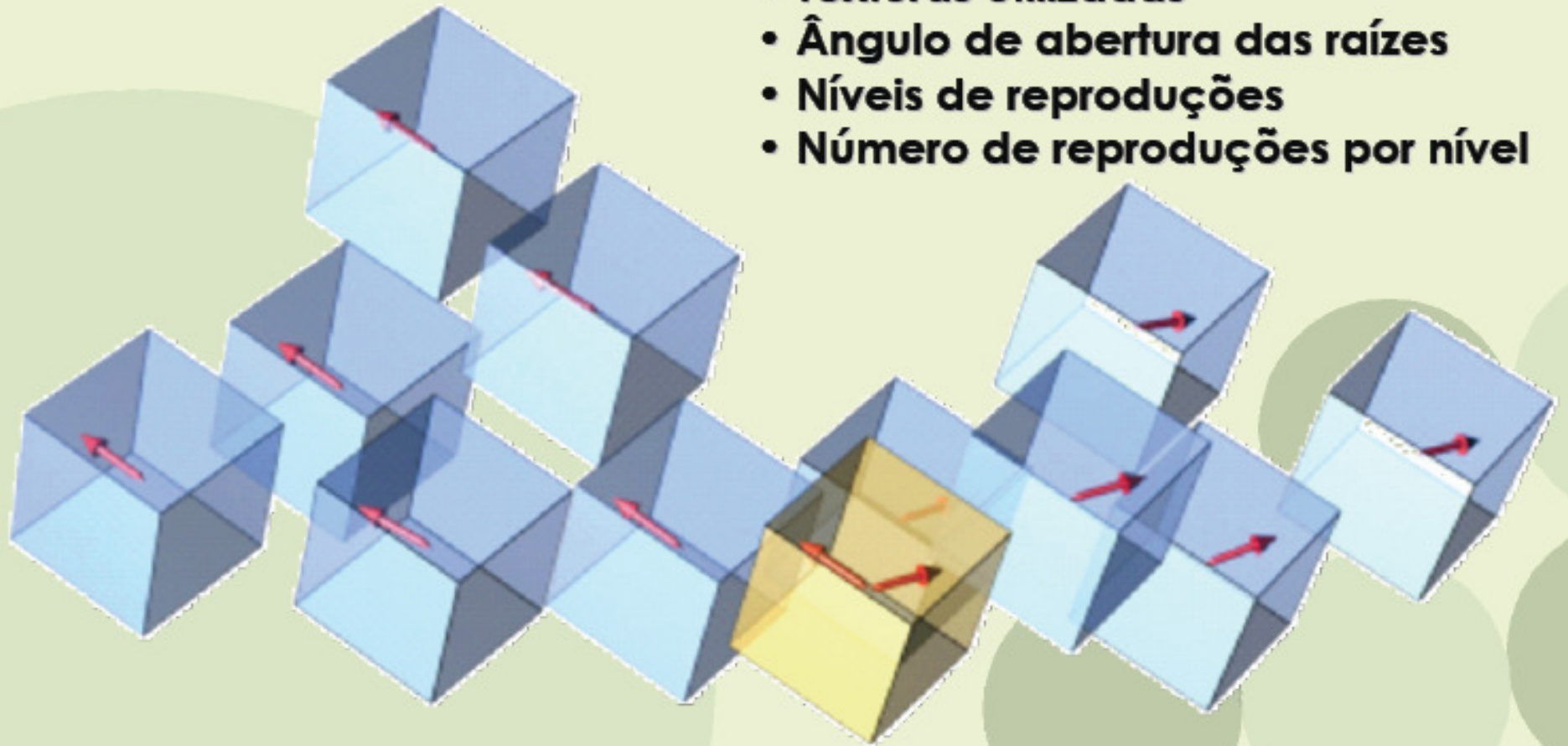
- Billboards
- Raízes
- Absorção de luz
- Artista





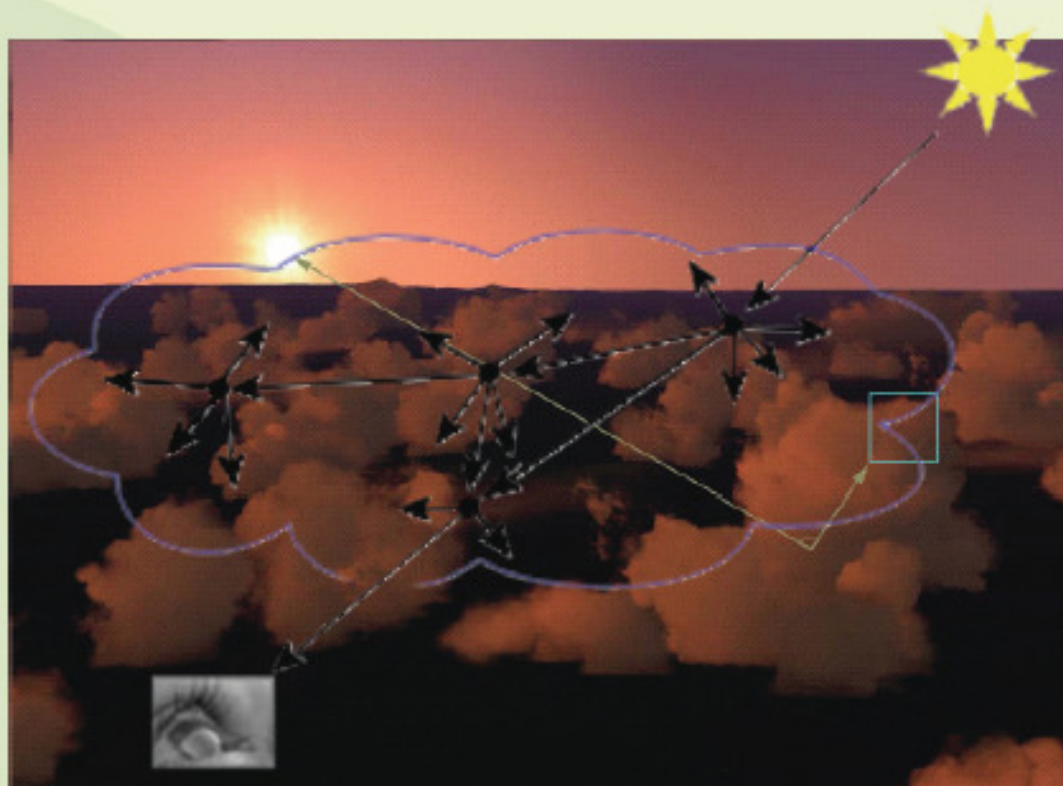
# Raízes

- **Tamanho dos Billboards**
- **Distribuição dos Billboards**
- **Texturas utilizadas**
- **Ângulo de abertura das raízes**
- **Níveis de reproduções**
- **Número de reproduções por nível**



# Iluminação

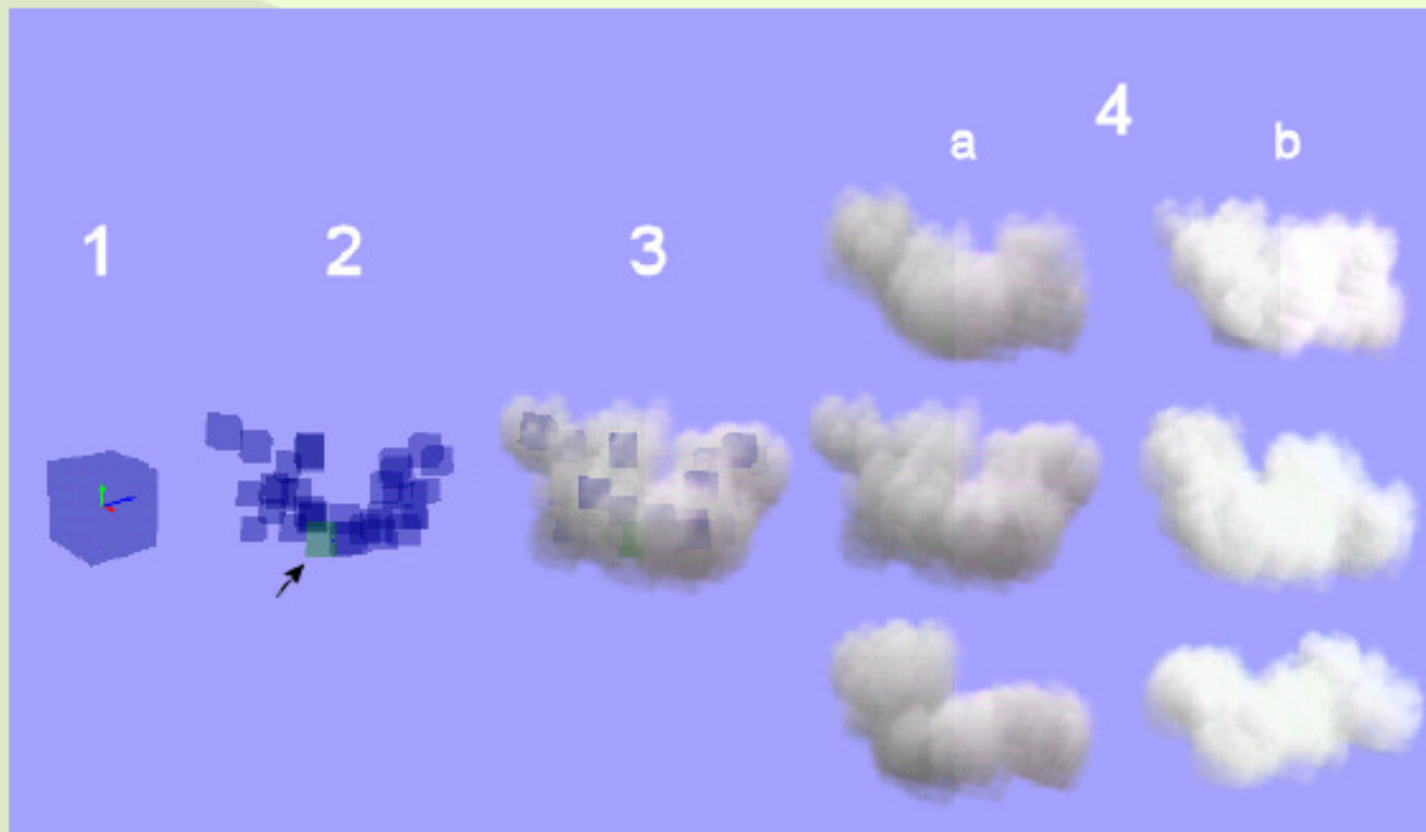
- Luz Direcional
- Vertex-Shader



Modelo proposto por Niniane Wang

# Céu

- Conjunto de Nuvens
- Representa um Estado Climático



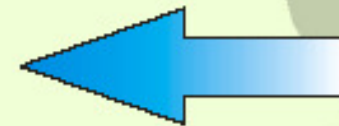




# Nuvens

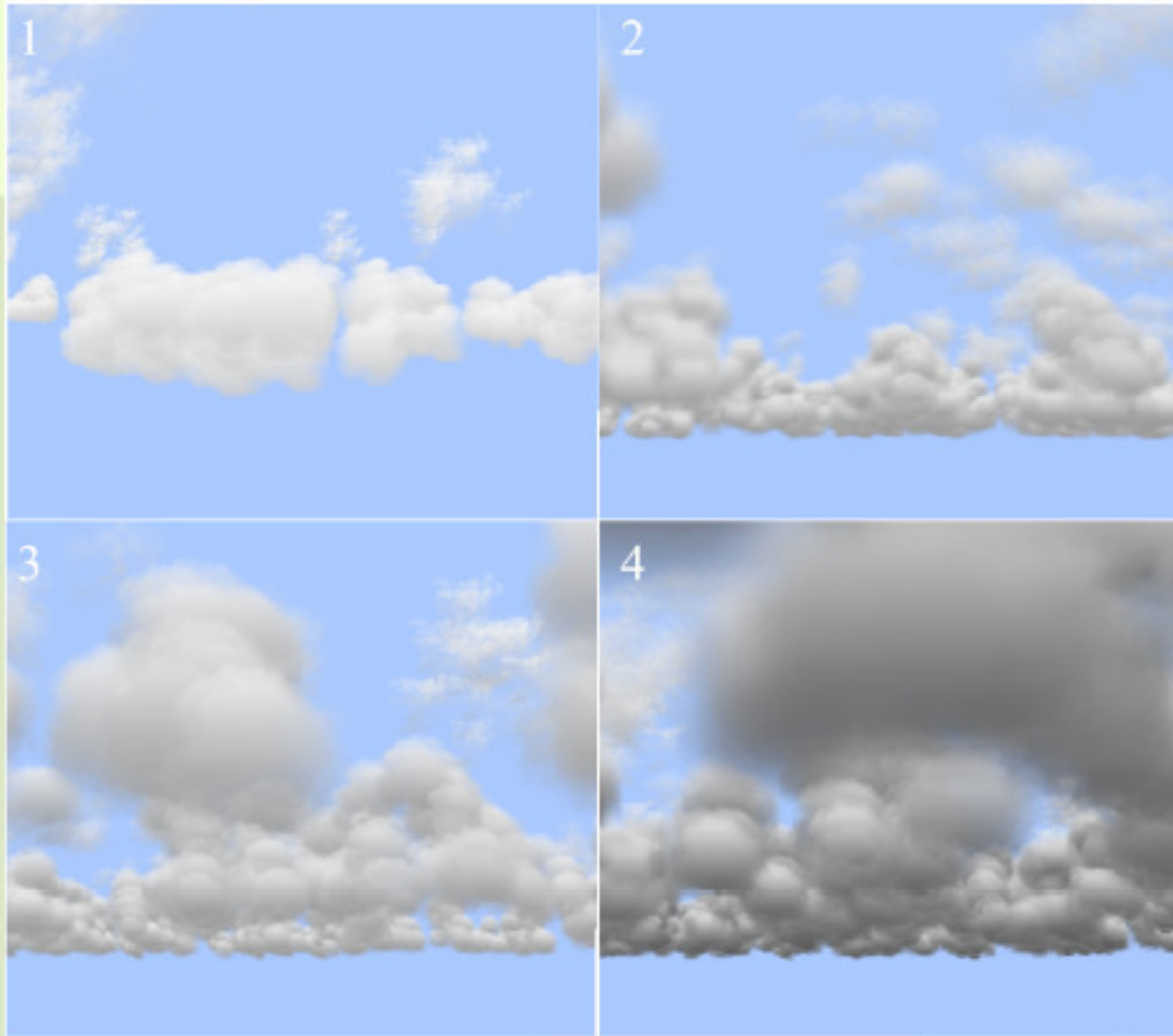
Nuvens sendo destruidas

Nuvens sendo criadas



DIREÇÃO DO  
VENTO

# Variação Climática (cont.)



# Resultados - Nuvens



# Resultados - Céus



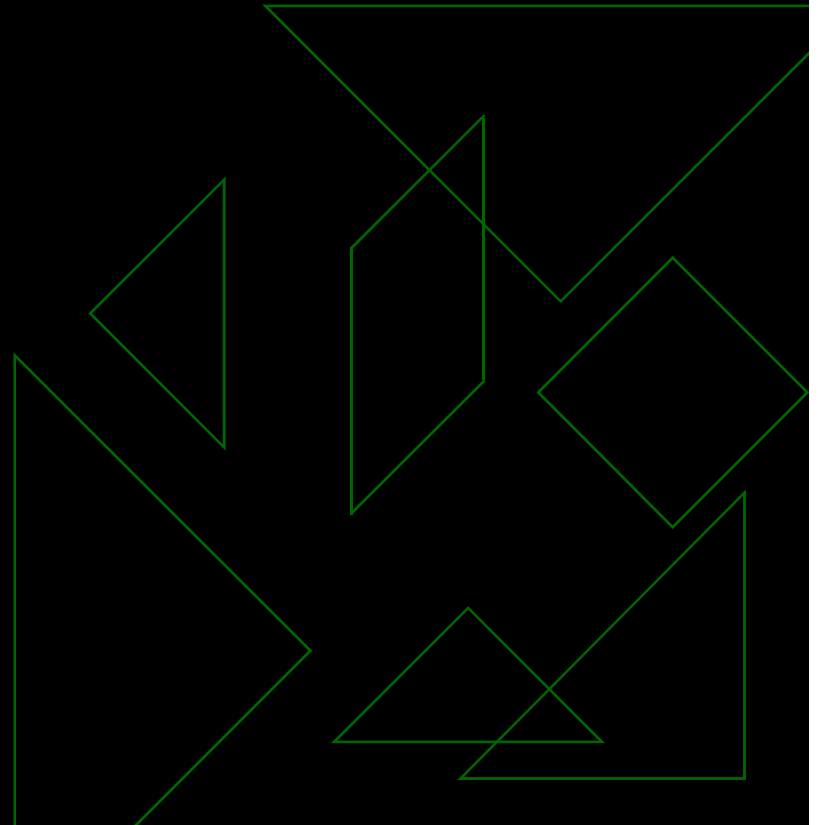
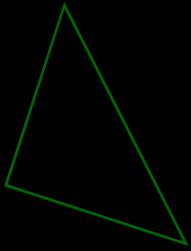
Fractostratus – Render

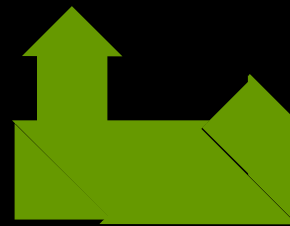
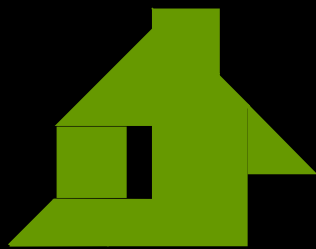
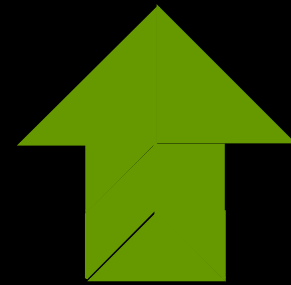


Fractostratus - Natureza

100 nuvens - 30 FPS

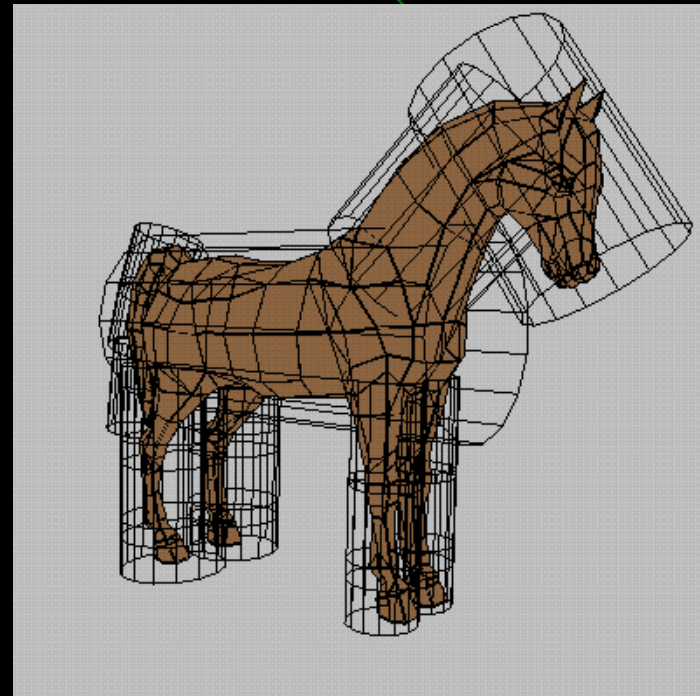
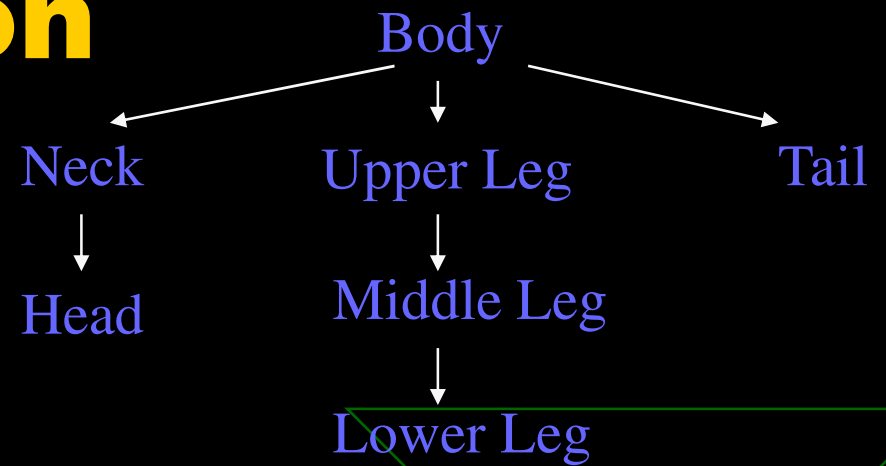
# Vídeo





# 2 - Controlled Shape Transformation

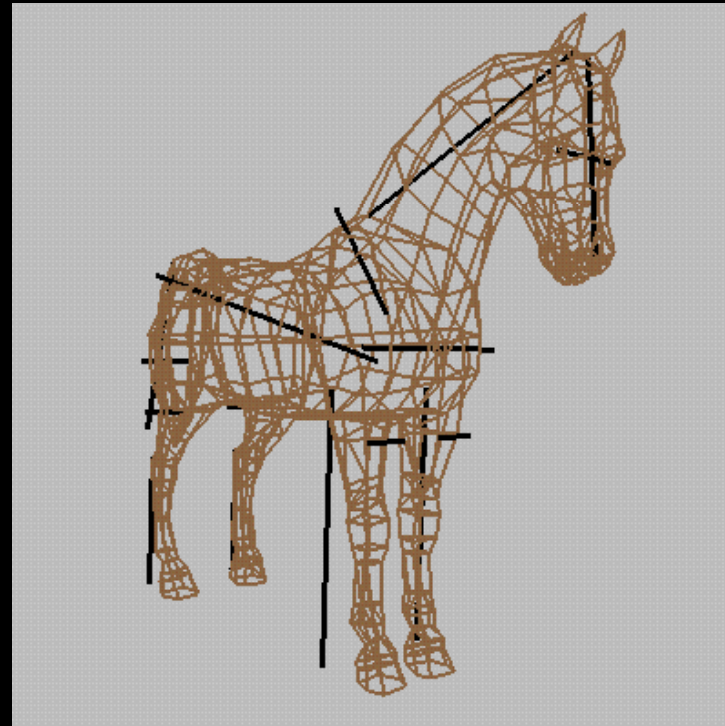
- ◆ Set of primitives defines a hierarchical structure. Ancestry is defined by the user
- ◆ Overlap of primitives guarantees continuity and smoothness
- ◆ Primitives are cylinders





# Controlled Shape Transformation

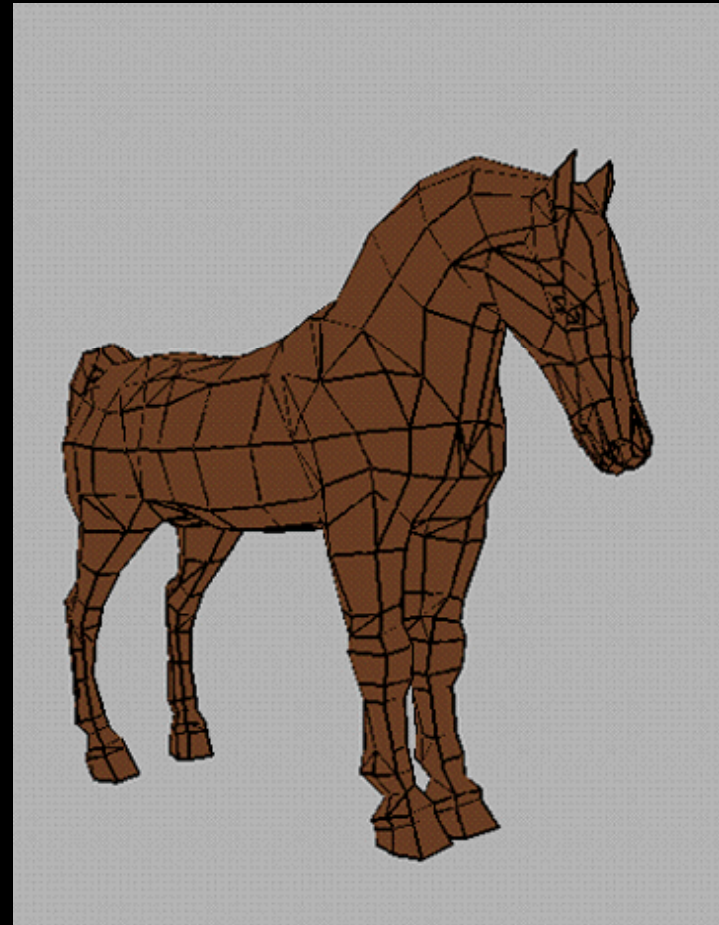
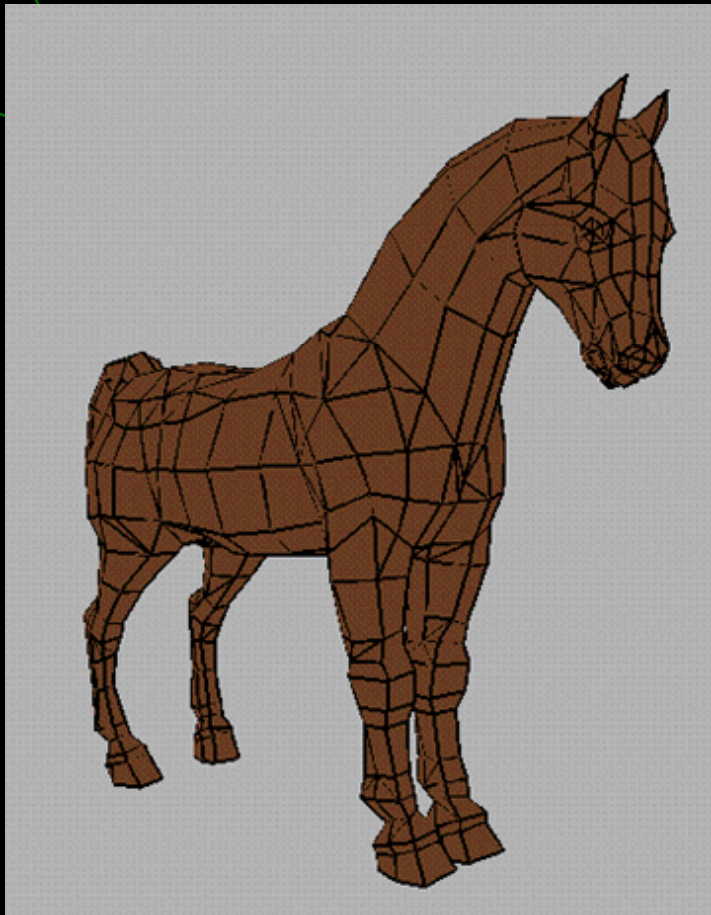
- ◆ Set of features drives the transformation
- ◆ Position and size of features match real measurements



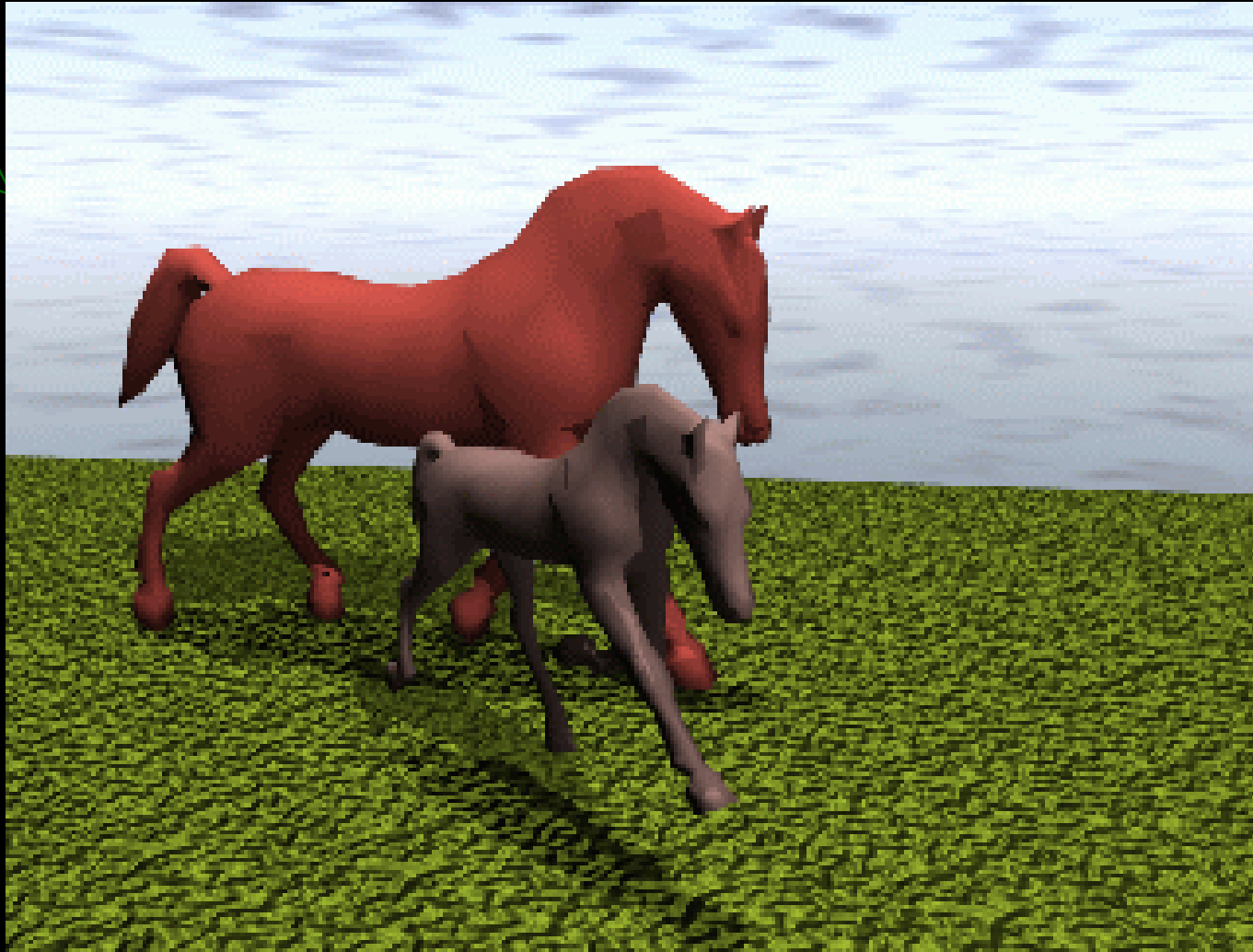
# Example - Quarter Horse

- ◆ 9 real measurements (3 legs, 2 body, 2 neck, 2 head) and 2 fake ones (tail)
- ◆ 9 ages: 0, 3, 6, 12, 18, 24, 36, 48, and 60 months
- ◆ Polygonal model with 674 vertices and 863 faces

# Original and Quarter Horse



# Applying Growth

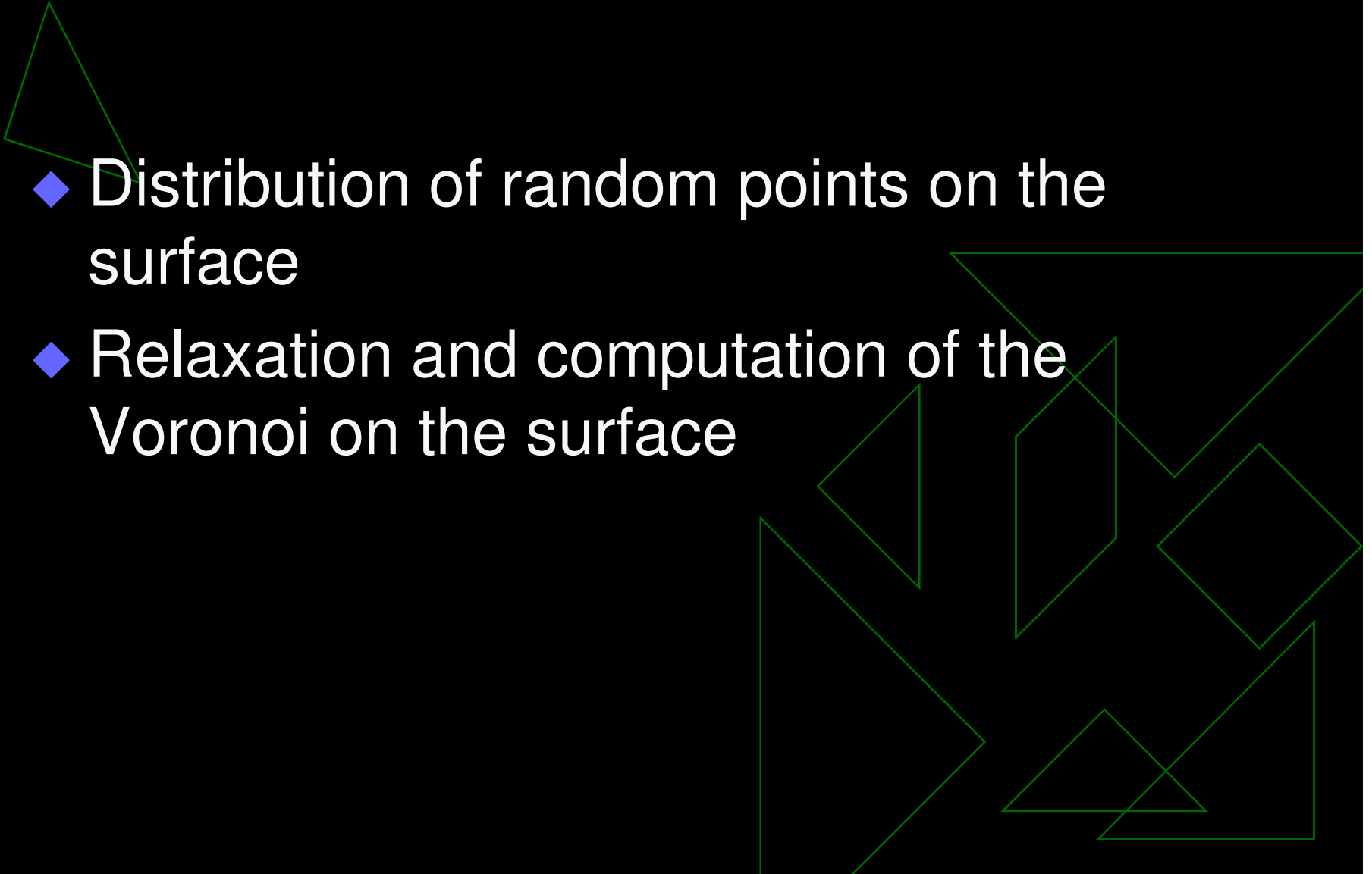


# 3 - Integration

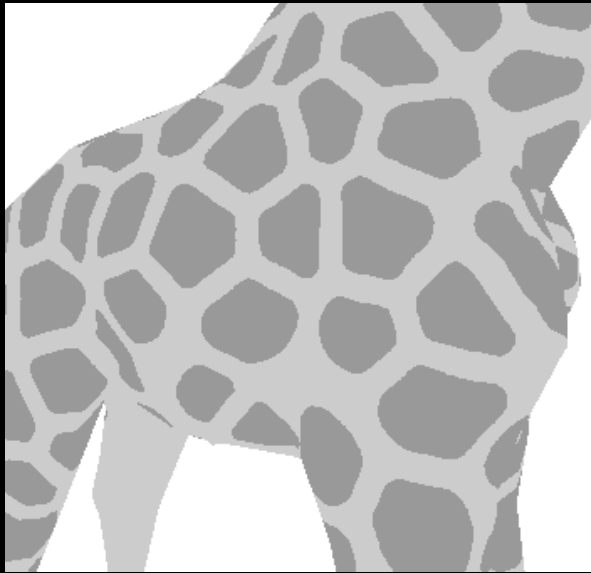
- ◆ Simulate the CM model directly on the surface of geometrical models
  - Generate pattern on a fixed geometry
  - Change geometry and keep pattern
  - Develop pattern on a changing geometry
- ◆ Compute splitting rates from growth information

# From 2D to 3D

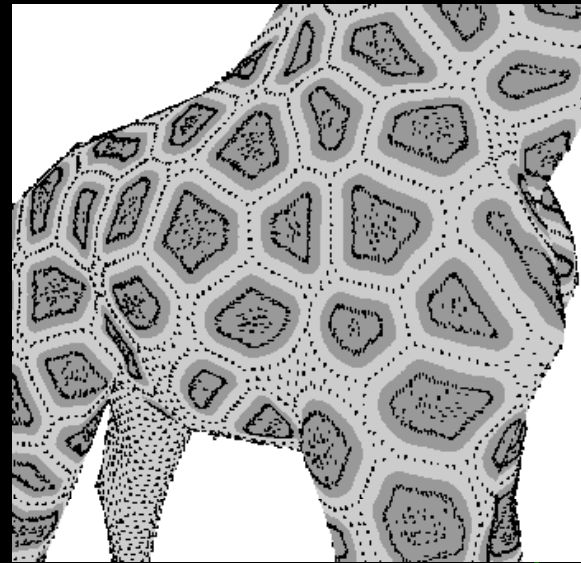
- ◆ Distribution of random points on the surface
- ◆ Relaxation and computation of the Voronoi on the surface



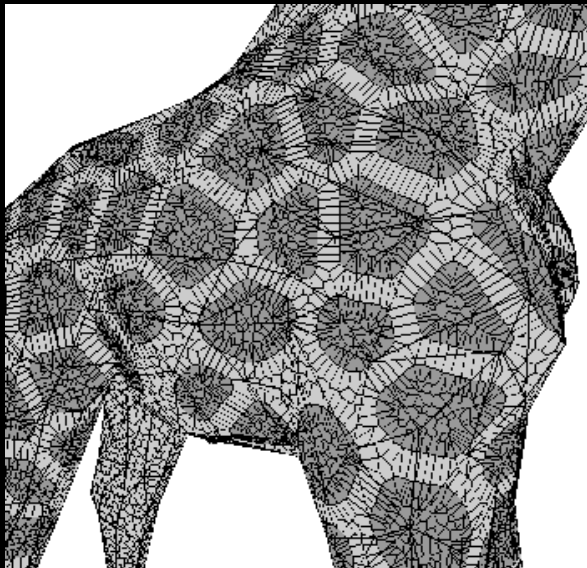
# Pattern on the Surface



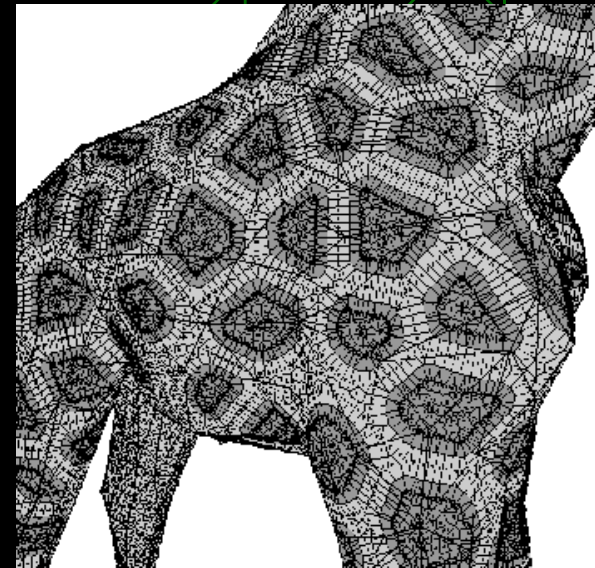
Pattern  
on the  
surface



Cell's  
centers



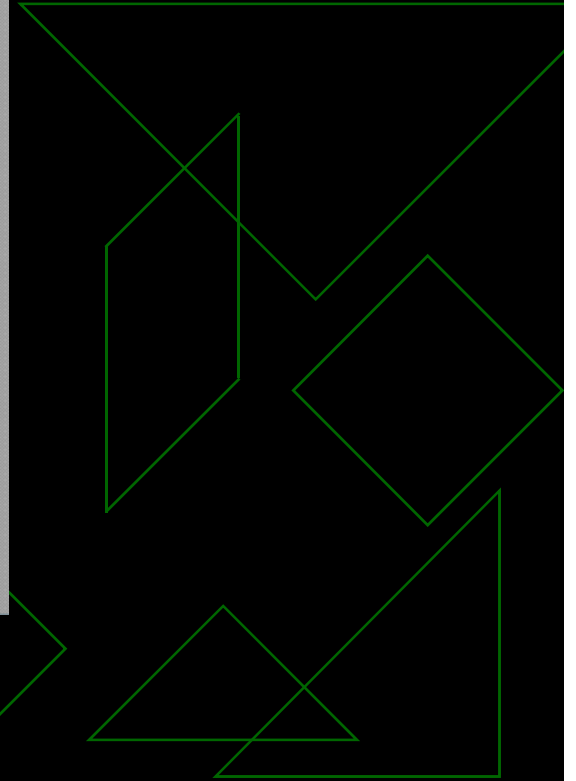
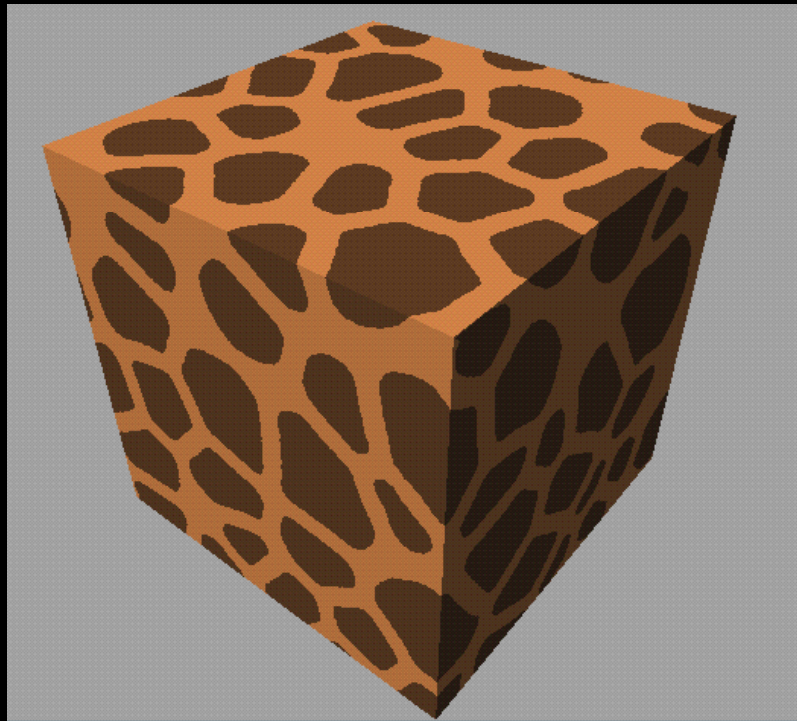
Voronoi  
borders



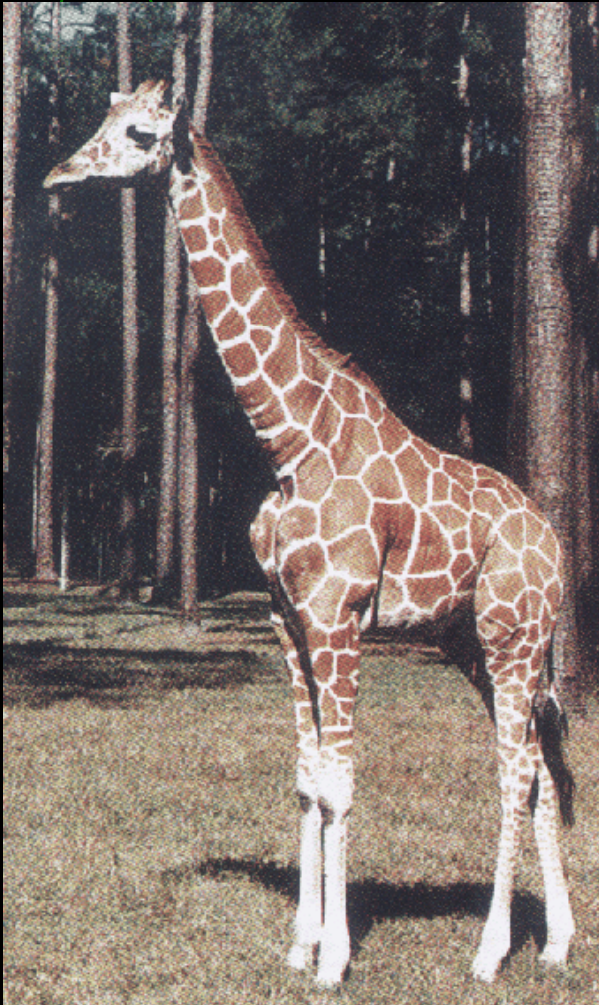
Cell's  
centers  
and  
borders



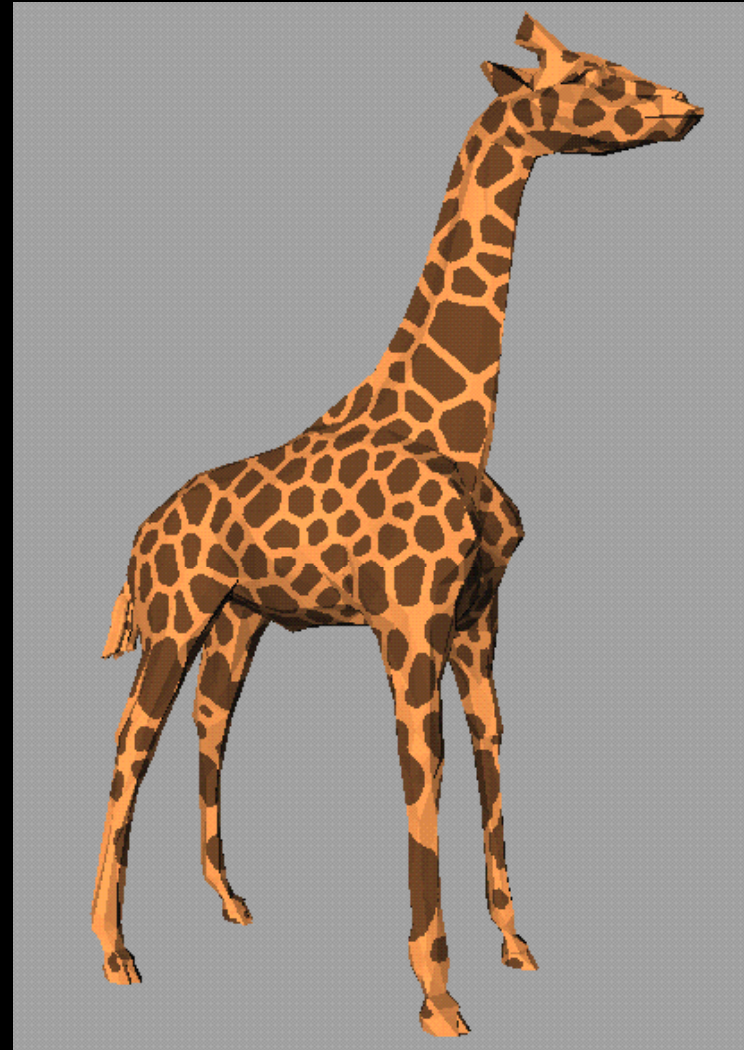
# Pattern on a fixed geometry



# Change geometry and keep pattern



# Develop pattern on a changing geometry



85 days into gestation